



Proponente:

PARCO SOLARE MANFREDONIA SRL

Via Vittor Pisani, 20 - 20124 MILANO

P.Iva 11389800969

Pec: parcosolaremanfredonia@cert.studiopirola.com

Titolo del Progetto:

Realizzazione di un Parco Fotovoltaico di potenza di picco 77 MWp in Loc.tà Monachelle

Documento:

PROGETTO DEFINITIVO

N° Documento:

43

ID PROGETTO:

XK1J275

FORMATO:

Elaborato:

TABULATI DI CALCOLO STRUTTURALE TELAIO DI SUPPORTO DEI PANNELLI FOTOVOLTAICI

FOGLIO:

SCALA:

Nome file:

XK1J275_43.Tabulati di calcolo strutturale telaio di supporto dei pannelli fotovoltaici

Coordinamento Progetto:



Via Santa Croce, 66
Erchie (BR) 72020
P.Iva 02415290747
Pec: ekoteksrl@pec.it

Tecnici:

Arch. Alfredo Masillo
Geol. Giuseppe Masillo

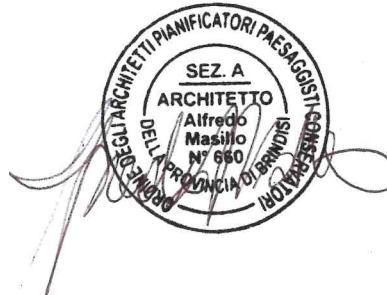
Documentazione specialistica:



**GIOVANNI
ERRICO
ENGINEERING**

Tecnici:

Ing. Giovanni Errico



Rev:	Data Revisione	Descrizione Revisione	Redatto	Controllato	Approvato
00	Settembre 2021	PRIMA EMISSIONE	Ing. Giovanni Errico	EKOTEK	WIRCON

Comune di Manfredonia
Provincia di Foggia

TABULATI DI CALCOLO
STRUTTURALE

OGGETTO: Progetto strutturale per la realizzazione della struttura di supporto dei pannelli fotovoltaici

COMMITTENTE: Parco Solare Manfredonia Srl

Mesagne, 22/06/2021

Il Progettista

(Ing. Giovanni Errico)

Ing. Giovanni Errico
via Felice Ronzini, 4 - Mesagne (BR)
giovannierrico.br@gmail.com

INFORMAZIONI GENERALI

Edificio	Acciaio
Costruzione	Nuova
Situazione	-
Intervento	-
Comune	Manfredonia
Provincia	Foggia
Oggetto	Progetto strutturale per la realizzazione della struttura di supporto dei pannelli fotovoltaici
Parte d'opera	
Normativa di riferimento	D.M. 17/01/2018
Calcolo semplificato per siti a bassa sismicità (§ 7.0)	-
Analisi sismica	Dinamica solo Orizzontale

MATERIALI CALCESTRUZZO ARMATO

N _{id}	γ _k [N/m ³]	α _{T, i} [1/°C]	E [N/mm ²]	G [N/mm ²]	C _{Erld} [%]	Stz	R _{ck} [N/mm ²]	R _{cm} [N/mm ²]	%R _{ck}	γ _c	Caratteristiche calcestruzzo armato				
											f _{cd} [N/mm ²]	f _{ctd} [N/mm ²]	f _{cfm} [N/mm ²]	N	n Ac
Clas C25/30_B450C - (C25/30)															
002	25.000	0,000010	31.447	13.103	60	P	30,00	-	0,85	1,50	14,11	1,19	3,07	15	003

LEGENDA:

N_{id}	Numero identificativo del materiale, nella relativa tabella dei materiali.
γ_k	Peso specifico.
α_{T, i}	Coefficiente di dilatazione termica.
E	Modulo elastico normale.
G	Modulo elastico tangenziale.
C_{Erld}	Coefficiente di riduzione del Modulo elastico normale per Analisi Sismica [E _{sisma} = E · C _{Erld}].
Stz	Tipo di situazione: [F] = di Fatto (Esistente); [P] = di Progetto (Nuovo).
R_{ck}	Resistenza caratteristica cubica.
R_{cm}	Resistenza media cubica.
%R_{ck}	Percentuale di riduzione della R _{ck}
γ_c	Coefficiente parziale di sicurezza del materiale.
f_{cd}	Resistenza di calcolo a compressione.
f_{ctd}	Resistenza di calcolo a trazione.
f_{cfm}	Resistenza media a trazione per flessione.
n Ac	Identificativo, nella relativa tabella materiali, dell'acciaio utilizzato: [-] = parametro NON significativo per il materiale.

MATERIALI ACCIAIO

N _{id}	γ _k [N/m ³]	α _{T, i} [1/°C]	E [N/mm ²]	G [N/mm ²]	Stz	LMT	f _{yk} [N/mm ²]	f _{tk} [N/mm ²]	f _{yd} [N/mm ²]	f _{td} [N/mm ²]	γ _s	γ _{M1}	γ _{M2}	γ _{M3,SLV}	γ _{M3,SLE}	γ _{M7}	
																NCnt	Cnt
S235 - Acciaio per Profilati - (S235)																	
001	78.500	0,000012	210.000	80.769	P	40	235,00	360,00	-	-	1,05	1,05	1,25	-	-	-	-
							80	215,00	360,00	-							
Acciaio B450C - Acciaio in Tondini - (B450C)																	
003	78.500	0,000010	210.000	80.769	P	-	450,00	-	391,30	-	1,15	-	-	-	-	-	-

LEGENDA:

N_{id}	Numero identificativo del materiale, nella relativa tabella dei materiali.
γ_k	Peso specifico.
α_{T, i}	Coefficiente di dilatazione termica.
E	Modulo elastico normale.
G	Modulo elastico tangenziale.
Stz	Tipo di situazione: [F] = di Fatto (Esistente); [P] = di Progetto (Nuovo).
LMT	Campo di validità in termini di spessore t, (per profili, piastre, saldature) o diametro, d (per bulloni, tondini, chiodi, viti, spinotti)
f_{yk}	Resistenza caratteristica allo snervamento
f_{tk}	Resistenza caratteristica a rottura
f_{yd}	Resistenza di calcolo
f_{td}	Resistenza di calcolo a Rottura (Bulloni).
γ_s	Coefficiente parziale di sicurezza allo SLV del materiale.
γ_{M1}	Coefficiente parziale di sicurezza per instabilità.
γ_{M2}	Coefficiente parziale di sicurezza per sezioni tese indebolite.
γ_{M3,SLV}	Coefficiente parziale di sicurezza per scorrimento allo SLV (Bulloni).
γ_{M3,SLE}	Coefficiente parziale di sicurezza per scorrimento allo SLE (Bulloni).
γ_{M7}	Coefficiente parziale di sicurezza precarico di bulloni ad alta resistenza (Bulloni - NCnt = con serraggio NON controllato; Cnt = con serraggio controllato). [-] = parametro NON significativo per il materiale.
NOTE	[-] = Parametro non significativo per il materiale.

TERRENI

N _{TRN}	γ _T [N/cm ³]	K _{1X} [N/cm ²]	K ₁			φ [°]	c _u [N/mm ²]	c' [N/mm ²]	E _d [N/mm ²]	E _{cu} [N/mm ²]	Terreni
			K _{1Y} [N/cm ²]	K _{1Z} [N/cm ²]	A _{S-B}						
Sabbia ghiaiosa Parco fotovoltaico											
T001	16.000	80	80	300	21	0,015	0,000	4	1	0,000	

LEGENDA:

N_{TRN}	Numero identificativo del terreno.
γ_T	Peso specifico del terreno.
K₁	Valori della costante di Winkler riferita alla piastra Standard di lato b = 30 cm nelle direzioni degli assi del riferimento globale X (K _{1X}), Y (K _{1Y}), e Z (K _{1Z}).
φ	Angolo di attrito del terreno.
c_u	Coesione non drenata.
c'	Coesione efficace.

											Terreni	
N _{TRN}	γ _T [N/mm ²]	K ₁			φ [°]	C _u [N/mm ²]	c' [N/mm ²]	E _d [N/mm ²]	E _{cu} [N/mm ²]	A _{S-B}		
		K _{1X} [N/cm ³]	K _{1Y} [N/cm ³]	K _{1Z} [N/cm ³]								
E _d	Modulo edometrico.											
E _{cu}	Modulo elastico in condizione non drenate.											
A _{S-B}	Parametro "A" di Skempton-Bjerrum per pressioni interstiziali.											

SEZIONI ASTE

																	Sezioni aste				
N _{id}	Tp	Label	Dimensioni									v	A [cm ²]	Area per Taglio		Inerzia				ΔΘ _{I_{pr}} [°]	
			B [cm]	H [cm]	Sp _w [cm]	L _w [cm]	Sp _{r,0} [cm]	L _{r,0} [cm]	Sp _{r,1} [cm]	L _{r,1} [cm]	L _{r,2} [cm]			L _{r,3} [cm]	A _{X,T} [cm ²]	A _{Y,T} [cm ²]	I _X [cm ⁴]	I _T [cm ⁴]	I _Y [cm ⁴]		I _{XY} [cm ⁴]
005	•	Ø20	20	-	-	-	-	-	-	-	-	-	-	314	283	283	7.854	15.708	7.854	0	0,00

LEGENDA:

- N_{id}** Numero identificativo della sezione.
- Tp** Tipo di sezione.
- Label** Identificativo della sezione come indicato nelle carpenterie.
- B** Base/Diametro/Raggio.
- H** Altezza/Lato/Altezza di colmo.
- Sp_w** Spessore anima.
- L_w** Lunghezza anima.
- Sp_{r,0}** Spessore ala 0.
- L_{r,0}** Lunghezza ala 0.
- Sp_{r,1}** Spessore ala 1.
- L_{r,1}** Lunghezza ala 1.
- L_{r,2}** Lunghezza ala 2.
- L_{r,3}** Lunghezza ala 3.
- v** Nel caso di sezioni poligonali, indica il numero dei vertici della sezione.
- A** Area della sezione.
- ΔΘ_{I_{pr}}** Rotazione degli assi principali d'inerzia rispetto agli assi X, Y, espresse in gradi sessadecimali.
- Inerzia** Inerzie della sezione rispetto agli assi.

SEZIONI PROFILATI IN ACCIAIO

																	Sezioni profilati in acciaio - parte I	
N _{id}	Tp	Label	b [mm]	b ₁ [mm]	h [mm]	t _f [mm]	t _{r1} [mm]	t _w [mm]	t _p [mm]	r _w [mm]	r _f [mm]	r _{w/f} [mm]	h _i [mm]	d [mm]	p _w [%]	p _f [%]	d _{sp,w} [mm]	d _{sp,f} [mm]
001	□	120x60x4.0	60,0	-	120,0	4,0	-	-	-	-	-	-	-	-	-	-	-	-
003	⌒	2L 80x80x8[20]	180,0	-	80,0	-	-	-	-	-	-	-	-	-	-	-	-	-
004	I	HE 100 A	100,0	-	96,0	8,0	-	5,0	-	-	-	12,0	80,0	56,0	-	-	-	-
006	⌒	2L 80x80x8[20]	80,0	-	180,0	-	-	-	-	-	-	-	-	-	-	-	-	-

LEGENDA:

- N_{id}** Numero identificativo del profilato.
- Tp** Tipo di profilato.
- Label** Identificativo del profilato come indicato nelle carpenterie.
- b** Base del profilato.
- b₁** Seconda base (per profilati composti).
- h** Altezza.
- t_f** Spessore ala.
- t_{r1}** Spessore seconda ala (per profilati composti).
- t_w** Spessore anima.
- t_p** Spessore piatto (per profilati composti).
- r_w** Raggio anima.
- r_f** Raggio ala.
- r_{w/f}** Raggio anima/ala.
- h_i** Altezza anima.
- d** Altezza netta raccordi.
- p_w** Pendenza anima.
- p_f** Pendenza ala.
- d_{sp,w}** Distanza spessore anima.
- d_{sp,f}** Distanza spessore ala.

SEZIONI PROFILATI IN ACCIAIO

																	Sezioni profilati in acciaio - parte II	
N _{id}	Tp	Label	Dir r	TC	d _{x/y} [mm]	P _{abb} [mm]	A [cm ²]	A _v [cm ²]	I [cm ⁴]	W _{el,sup/dx} [cm ³]	W _{el,inf/sx} [cm ³]	W _{pl} [cm ³]	i [cm]	I _w [cm ⁶]	I _T [cm ⁴]	I _{XY} [cm ⁴]	α _{xy} [°]	
001	□	120x60x4.0	X	-	-	0	14	9,07	249,0	41,5	41,5	51,9	4,28	0,000	0	0	0,0	
			Y	-	-	-	-	4,53	83,1	27,7	27,7	31,7	2,47					
003	⌒	2L 80x80x8[20]	X	-	20	300	25	24,60	144,5	64,1	25,2	0,0	2,42	0,000	0	0	0,0	
			Y	-	-	-	-	24,60	405,1	45,0	45,0	0,0	4,06					
004	I	HE 100 A	X	-	-	0	21	7,56	349,2	72,8	72,8	83,0	4,06	2580,000	5	0	0,0	
			Y	-	-	-	-	18,44	133,8	26,8	26,8	41,1	2,51					
006	⌒	2L 80x80x8[20]	X	-	20	300	25	24,60	144,5	16,1	16,1	0,0	2,42	0,000	0	0	0,0	
			Y	-	-	-	-	24,60	405,1	179,7	70,5	0,0	4,06					

LEGENDA:

- N_{id}** Numero identificativo del profilato.
- Tp** Tipo di profilato.
- Label** Identificativo del profilato come indicato nelle carpenterie.
- Dir** Direzione.
- TC** Tipo collegamenti (per profilati composti). A = Abbottonati; R = Ravvicinati.
- d_{x/y}** Distanza profilati lungo X/Y (per profilati composti).
- P_{abb}** Passo abbottonatura (per profilati composti).

N _{id}	Tp	Label	D _r	TC	d _{x/y}	P _{abb}	A	A _v	I	W _{el,sup/dx}	W _{el,inf/sx}	W _{pl}	i	I _w	I _T	I _{XY}	α _{xy}
					[mm]	[mm]	[cm ²]	[cm ²]	[cm ⁴]	[cm ³]	[cm ³]	[cm ³]	[cm]	[cm ⁶]	[cm ⁴]	[cm ⁴]	[°]
A		Area della sezione.															
A_v		Area resistente a taglio.															
I		Inerzia.															
W_{el,sup/dx}		Modulo di resistenza elastica superiore/destra.															
W_{el,inf/sx}		Modulo di resistenza elastica inferiore/sinistra.															
W_{pl}		Modulo resistenza plastica.															
i		Raggio inerzia															
I_w		Inerzia settoriale.															
I_T		Inerzia torsionale.															
I_{XY}		Inerzia in XY.															
α_{xy}		Rotazione assi inerzia.															

ANALISI CARICHI

Analisi carichi										
N _{id}	T. C.	Descrizione del Carico	Tipologie di Carico	Peso Proprio		Permanente NON Strutturale		Sovraccarico Accidentale		Carico Neve
				Descrizione	PP	Descrizione	PNS	Descrizione	SA	
001	S	Pannelli solari + Carico neve	Coperture accessibili solo per manutenzione	Pannelli solari watt power WP 455 HD144n	200	struttura di supporto in alluminio	500	Manutenzione	500	1.080

LEGENDA:

N_{id} Numero identificativo dell'analisi di carico.

T. C. Identificativo del tipo di carico: [S] = Superficiale - [L] = Lineare - [C] = Concentrato.

PP, PNS, SA Valori, rispettivamente, del Peso Proprio, del Sovraccarico Permanente NON strutturale, del Sovraccarico Accidentale. Secondo il tipo di carico indicato nella colonna "T.C." ("S" - "L" - "C"), i valori riportati nelle colonne "PP", "PNS" e "SA", sono espressi in [N/m²] per carichi Superficiali, [N/m] per carichi Lineari, [N] per carichi Concentrati.

TIPOLOGIE DI CARICO

N _{id}	Descrizione	F+E	+/- F	CDC	Tipologie di carico		
					ψ ₀	ψ ₁	ψ ₂
0001	Carico Permanente	SI	NO	Permanente	1,00	1,00	1,00
0002	Permanenti NON Strutturali	SI	NO	Permanente	1,00	1,00	1,00
0003	Coperture accessibili solo per manutenzione	SI	NO	Media	0,00	0,00	0,00
0004	Carico da Neve <= 1000 m s.l.m.	SI	NO	Breve	0,50	0,20	0,00
0005	Pressione del Vento (+X)	NO	NO	Istantanea	0,60	0,20	0,00
0006	Pressione del Vento (-X)	NO	NO	Istantanea	0,60	0,20	0,00
0007	Pressione del Vento (+Y)	NO	NO	Istantanea	0,60	0,20	0,00
0008	Pressione del Vento (-Y)	NO	NO	Istantanea	0,60	0,20	0,00
0009	Sisma X	-	-	-	-	-	-
0010	Sisma Y	-	-	-	-	-	-
0011	Sisma Z	-	-	-	-	-	-
0012	Sisma Ecc.X	-	-	-	-	-	-
0013	Sisma Ecc.Y	-	-	-	-	-	-

LEGENDA:

N_{id} Numero identificativo della Tipologia di Carico.

F+E Indica se la tipologia di carico considerata è AGENTE con il sisma.

+/- F Indica se la tipologia di carico è ALTERNATA (cioè considerata due volte con segno opposto) o meno.

CDC Indica la classe di durata del carico.

NOTA: dato significativo solo per elementi in materiale legnoso.

ψ₀ Coefficiente riduttivo dei carichi allo SLU e SLE (carichi rari).

ψ₁ Coefficiente riduttivo dei carichi allo SLE (carichi frequenti).

ψ₂ Coefficiente riduttivo dei carichi allo SLE (carichi frequenti e quasi permanenti).

SLU: Non Sismica - Strutturale senza azioni geotecniche

SLU: Non Sismica - Strutturale senza azioni geotecniche

Id _{Comb}	CC 01	CC 02	CC 03	CC 04	CC 05	CC 06	CC 07	CC 08
	Carico Permanente	Permanenti NON Strutturali	Coperture accessibili solo per manutenzione	Carico da Neve <= 1000 m s.l.m.	Pressione del Vento (+X)	Pressione del Vento (-X)	Pressione del Vento (+Y)	Pressione del Vento (-Y)
01	1,00	0,80	0,00	0,00	0,00	0,00	0,00	0,00
02	1,00	0,80	0,00	0,00	0,00	0,00	0,00	0,90
03	1,00	0,80	0,00	0,00	0,00	0,00	0,90	0,00
04	1,00	0,80	0,00	0,00	0,00	0,90	0,00	0,00
05	1,00	0,80	0,00	0,00	0,90	0,00	0,00	0,00
06	1,00	0,80	0,00	0,75	0,00	0,00	0,00	0,00
07	1,00	0,80	0,00	0,75	0,00	0,00	0,00	0,90
08	1,00	0,80	0,00	0,75	0,00	0,00	0,90	0,00
09	1,00	0,80	0,00	0,75	0,00	0,90	0,00	0,00
10	1,00	0,80	0,00	0,75	0,90	0,00	0,00	0,00
11	1,00	0,80	1,50	0,00	0,00	0,00	0,00	0,00
12	1,00	0,80	1,50	0,00	0,00	0,00	0,00	0,90
13	1,00	0,80	1,50	0,00	0,00	0,00	0,90	0,00
14	1,00	0,80	1,50	0,00	0,00	0,90	0,00	0,00
15	1,00	0,80	1,50	0,00	0,90	0,00	0,00	0,00
16	1,00	0,80	1,50	0,75	0,00	0,00	0,00	0,00

SLU: Non Sismica - Strutturale senza azioni geotecniche

IdComb	CC 01 Carico Permanente	CC 02 Permanenti NON Strutturali	CC 03 Coperture accessibili solo per manutenzione	CC 04 Carico da Neve <= 1000 m s.l.m.	CC 05 Pressione del Vento (+X)	CC 06 Pressione del Vento (-X)	CC 07 Pressione del Vento (+Y)	CC 08 Pressione del Vento (-Y)
17	1,00	0,80	1,50	0,75	0,00	0,00	0,00	0,90
18	1,00	0,80	1,50	0,75	0,00	0,00	0,90	0,00
19	1,00	0,80	1,50	0,75	0,00	0,90	0,00	0,00
20	1,00	0,80	1,50	0,75	0,90	0,00	0,00	0,00
21	1,00	0,80	0,00	1,50	0,00	0,00	0,00	0,00
22	1,00	0,80	0,00	1,50	0,00	0,00	0,00	0,90
23	1,00	0,80	0,00	1,50	0,00	0,00	0,90	0,00
24	1,00	0,80	0,00	1,50	0,00	0,90	0,00	0,00
25	1,00	0,80	0,00	1,50	0,90	0,00	0,00	0,00
26	1,00	0,80	0,00	0,00	1,50	0,00	0,00	0,00
27	1,00	0,80	0,00	0,75	1,50	0,00	0,00	0,00
28	1,00	0,80	0,00	0,00	0,00	1,50	0,00	0,00
29	1,00	0,80	0,00	0,75	0,00	1,50	0,00	0,00
30	1,00	0,80	0,00	0,00	0,00	0,00	1,50	0,00
31	1,00	0,80	0,00	0,75	0,00	0,00	1,50	0,00
32	1,00	0,80	0,00	0,00	0,00	0,00	0,00	1,50
33	1,00	0,80	0,00	0,75	0,00	0,00	0,00	1,50
34	1,30	0,80	0,00	0,00	0,00	0,00	0,00	0,00
35	1,30	0,80	0,00	0,00	0,00	0,00	0,00	0,90
36	1,30	0,80	0,00	0,00	0,00	0,00	0,90	0,00
37	1,30	0,80	0,00	0,00	0,00	0,90	0,00	0,00
38	1,30	0,80	0,00	0,00	0,90	0,00	0,00	0,00
39	1,30	0,80	0,00	0,75	0,00	0,00	0,00	0,00
40	1,30	0,80	0,00	0,75	0,00	0,00	0,00	0,90
41	1,30	0,80	0,00	0,75	0,00	0,00	0,90	0,00
42	1,30	0,80	0,00	0,75	0,00	0,90	0,00	0,00
43	1,30	0,80	0,00	0,75	0,90	0,00	0,00	0,00
44	1,30	0,80	1,50	0,00	0,00	0,00	0,00	0,00
45	1,30	0,80	1,50	0,00	0,00	0,00	0,00	0,90
46	1,30	0,80	1,50	0,00	0,00	0,00	0,90	0,00
47	1,30	0,80	1,50	0,00	0,00	0,90	0,00	0,00
48	1,30	0,80	1,50	0,00	0,90	0,00	0,00	0,00
49	1,30	0,80	1,50	0,75	0,00	0,00	0,00	0,00
50	1,30	0,80	1,50	0,75	0,00	0,00	0,00	0,90
51	1,30	0,80	1,50	0,75	0,00	0,00	0,90	0,00
52	1,30	0,80	1,50	0,75	0,00	0,90	0,00	0,00
53	1,30	0,80	1,50	0,75	0,90	0,00	0,00	0,00
54	1,30	0,80	0,00	1,50	0,00	0,00	0,00	0,00
55	1,30	0,80	0,00	1,50	0,00	0,00	0,00	0,90
56	1,30	0,80	0,00	1,50	0,00	0,00	0,90	0,00
57	1,30	0,80	0,00	1,50	0,00	0,90	0,00	0,00
58	1,30	0,80	0,00	1,50	0,90	0,00	0,00	0,00
59	1,30	0,80	0,00	0,00	1,50	0,00	0,00	0,00
60	1,30	0,80	0,00	0,75	1,50	0,00	0,00	0,00
61	1,30	0,80	0,00	0,00	0,00	1,50	0,00	0,00
62	1,30	0,80	0,00	0,75	0,00	1,50	0,00	0,00
63	1,30	0,80	0,00	0,00	0,00	0,00	1,50	0,00
64	1,30	0,80	0,00	0,75	0,00	0,00	1,50	0,00
65	1,30	0,80	0,00	0,00	0,00	0,00	0,00	1,50
66	1,30	0,80	0,00	0,75	0,00	0,00	0,00	1,50
67	1,00	1,50	0,00	0,00	0,00	0,00	0,00	0,00
68	1,00	1,50	0,00	0,00	0,00	0,00	0,00	0,90
69	1,00	1,50	0,00	0,00	0,00	0,00	0,90	0,00
70	1,00	1,50	0,00	0,00	0,00	0,90	0,00	0,00
71	1,00	1,50	0,00	0,00	0,90	0,00	0,00	0,00
72	1,00	1,50	0,00	0,75	0,00	0,00	0,00	0,00
73	1,00	1,50	0,00	0,75	0,00	0,00	0,00	0,90
74	1,00	1,50	0,00	0,75	0,00	0,00	0,90	0,00
75	1,00	1,50	0,00	0,75	0,00	0,90	0,00	0,00
76	1,00	1,50	0,00	0,75	0,90	0,00	0,00	0,00
77	1,00	1,50	1,50	0,00	0,00	0,00	0,00	0,00
78	1,00	1,50	1,50	0,00	0,00	0,00	0,00	0,90
79	1,00	1,50	1,50	0,00	0,00	0,00	0,90	0,00
80	1,00	1,50	1,50	0,00	0,00	0,90	0,00	0,00
81	1,00	1,50	1,50	0,00	0,90	0,00	0,00	0,00
82	1,00	1,50	1,50	0,75	0,00	0,00	0,00	0,00
83	1,00	1,50	1,50	0,75	0,00	0,00	0,00	0,90
84	1,00	1,50	1,50	0,75	0,00	0,00	0,90	0,00
85	1,00	1,50	1,50	0,75	0,00	0,90	0,00	0,00
86	1,00	1,50	1,50	0,75	0,90	0,00	0,00	0,00
87	1,00	1,50	0,00	1,50	0,00	0,00	0,00	0,00
88	1,00	1,50	0,00	1,50	0,00	0,00	0,00	0,90

SLU: Non Sismica - Strutturale senza azioni geotecniche

Id_{Comb}	CC 01 Carico Permanente	CC 02 Permanenti NON Strutturali	CC 03 Coperture accessibili solo per manutenzione	CC 04 Carico da Neve <= 1000 m s.l.m.	CC 05 Pressione del Vento (+X)	CC 06 Pressione del Vento (-X)	CC 07 Pressione del Vento (+Y)	CC 08 Pressione del Vento (-Y)
89	1,00	1,50	0,00	1,50	0,00	0,00	0,90	0,00
90	1,00	1,50	0,00	1,50	0,00	0,90	0,00	0,00
91	1,00	1,50	0,00	1,50	0,90	0,00	0,00	0,00
92	1,00	1,50	0,00	0,00	1,50	0,00	0,00	0,00
93	1,00	1,50	0,00	0,75	1,50	0,00	0,00	0,00
94	1,00	1,50	0,00	0,00	0,00	1,50	0,00	0,00
95	1,00	1,50	0,00	0,75	0,00	1,50	0,00	0,00
96	1,00	1,50	0,00	0,00	0,00	0,00	1,50	0,00
97	1,00	1,50	0,00	0,75	0,00	0,00	1,50	0,00
98	1,00	1,50	0,00	0,00	0,00	0,00	0,00	1,50
99	1,00	1,50	0,00	0,75	0,00	0,00	0,00	1,50
100	1,30	1,50	0,00	0,00	0,00	0,00	0,00	0,00
101	1,30	1,50	0,00	0,00	0,00	0,00	0,00	0,90
102	1,30	1,50	0,00	0,00	0,00	0,00	0,90	0,00
103	1,30	1,50	0,00	0,00	0,00	0,90	0,00	0,00
104	1,30	1,50	0,00	0,00	0,90	0,00	0,00	0,00
105	1,30	1,50	0,00	0,75	0,00	0,00	0,00	0,00
106	1,30	1,50	0,00	0,75	0,00	0,00	0,00	0,90
107	1,30	1,50	0,00	0,75	0,00	0,00	0,90	0,00
108	1,30	1,50	0,00	0,75	0,00	0,90	0,00	0,00
109	1,30	1,50	0,00	0,75	0,90	0,00	0,00	0,00
110	1,30	1,50	1,50	0,00	0,00	0,00	0,00	0,00
111	1,30	1,50	1,50	0,00	0,00	0,00	0,00	0,90
112	1,30	1,50	1,50	0,00	0,00	0,00	0,90	0,00
113	1,30	1,50	1,50	0,00	0,00	0,90	0,00	0,00
114	1,30	1,50	1,50	0,00	0,90	0,00	0,00	0,00
115	1,30	1,50	1,50	0,75	0,00	0,00	0,00	0,00
116	1,30	1,50	1,50	0,75	0,00	0,00	0,00	0,90
117	1,30	1,50	1,50	0,75	0,00	0,00	0,90	0,00
118	1,30	1,50	1,50	0,75	0,00	0,90	0,00	0,00
119	1,30	1,50	1,50	0,75	0,90	0,00	0,00	0,00
120	1,30	1,50	0,00	1,50	0,00	0,00	0,00	0,00
121	1,30	1,50	0,00	1,50	0,00	0,00	0,00	0,90
122	1,30	1,50	0,00	1,50	0,00	0,00	0,90	0,00
123	1,30	1,50	0,00	1,50	0,00	0,90	0,00	0,00
124	1,30	1,50	0,00	1,50	0,90	0,00	0,00	0,00
125	1,30	1,50	0,00	0,00	1,50	0,00	0,00	0,00
126	1,30	1,50	0,00	0,75	1,50	0,00	0,00	0,00
127	1,30	1,50	0,00	0,00	0,00	1,50	0,00	0,00
128	1,30	1,50	0,00	0,75	0,00	1,50	0,00	0,00
129	1,30	1,50	0,00	0,00	0,00	0,00	1,50	0,00
130	1,30	1,50	0,00	0,75	0,00	0,00	1,50	0,00
131	1,30	1,50	0,00	0,00	0,00	0,00	0,00	1,50
132	1,30	1,50	0,00	0,75	0,00	0,00	0,00	1,50

LEGENDA:

Id_{Comb} Numero identificativo della Combinazione di Carico.
CC Identificativo della tipologia di carico nella relativa tabella.
 CC 01= Carico Permanente
 CC 02= Permanenti NON Strutturali
 CC 03= Coperture accessibili solo per manutenzione
 CC 04= Carico da Neve <= 1000 m s.l.m.
 CC 05= Pressione del Vento (+X)
 CC 06= Pressione del Vento (-X)
 CC 07= Pressione del Vento (+Y)
 CC 08= Pressione del Vento (-Y)

SLU: Sismica - Strutturale senza azioni geotecniche

SLU: Sismica - Strutturale senza azioni geotecniche

Id_{Comb}	CC 01 Carico Permanente	CC 02 Permanenti NON Strutturali	CC 03 Coperture accessibili solo per manutenzione	CC 04 Carico da Neve <= 1000 m s.l.m.	CC 05 Pressione del Vento (+X)	CC 06 Pressione del Vento (-X)	CC 07 Pressione del Vento (+Y)	CC 08 Pressione del Vento (-Y)
01	1,00	1,00	0,00	0,00	0,00	0,00	0,00	0,00

LEGENDA:

Id_{Comb} Numero identificativo della Combinazione di Carico.
CC Identificativo della tipologia di carico nella relativa tabella.
 CC 01= Carico Permanente
 CC 02= Permanenti NON Strutturali
 CC 03= Coperture accessibili solo per manutenzione
 CC 04= Carico da Neve <= 1000 m s.l.m.
 CC 05= Pressione del Vento (+X)

IdComb	CC 01 Carico Permanente	CC 02 Permanenti NON Strutturali	CC 03 Coperture accessibili solo per manutenzione	CC 04 Carico da Neve <= 1000 m s.l.m.	CC 05 Pressione del Vento (+X)	CC 06 Pressione del Vento (-X)	CC 07 Pressione del Vento (+Y)	CC 08 Pressione del Vento (-Y)
---------------	--------------------------------------	---	--	---	---	---	---	---

CC 06= Pressione del Vento (-X)
CC 07= Pressione del Vento (+Y)
CC 08= Pressione del Vento (-Y)

COMBINAZIONI SISMICHE

Alle combinazioni riportate nella precedente tabella è stato aggiunto l'effetto del sisma. L'azione sismica è stata considerata come caratterizzata da tre componenti traslazionali lungo i tre assi globali X, Y e Z; la risposta della struttura è stata calcolata separatamente per i tre effetti e quindi combinata secondo la seguente espressione simbolica:

$$\alpha = \alpha_i + 0,3 \cdot \alpha_{ii} + 0,3 \cdot \alpha_{iii}$$

con α effetto totale dell'azione sismica, α_i , α_{ii} e α_{iii} azioni sismiche nelle tre direzioni. E' stata effettuata una rotazione degli indici e dei segni, per cui le combinazioni totali generate sono le:
(con α'_p sollecitazione dovuta alla combinazione delle condizioni statiche e α sollecitazione dovuta al sisma; in particolare $\alpha_x, \alpha_y, \alpha_z, \alpha_{ex}, \alpha_{ey}$ sono rispettivamente le sollecitazioni dovute al sisma agente in direzione x, in direzioni y, in direzione z, per eccentricità accidentale positiva in direzione x e per eccentricità accidentale positiva in direzione y)

- 1) $\alpha'_p + (\alpha_x + \alpha_{ex}) + 0,3 \cdot (\alpha_y + \alpha_{ey}) + 0,3 \cdot \alpha_z$; 2) $\alpha'_p + (\alpha_x + \alpha_{ex}) - 0,3 \cdot (\alpha_y + \alpha_{ey}) + 0,3 \cdot \alpha_z$;
- 3) $\alpha'_p + (\alpha_x + \alpha_{ex}) + 0,3 \cdot (\alpha_y + \alpha_{ey}) - 0,3 \cdot \alpha_z$; 4) $\alpha'_p + (\alpha_x + \alpha_{ex}) - 0,3 \cdot (\alpha_y + \alpha_{ey}) - 0,3 \cdot \alpha_z$;
- 5) $\alpha'_p + (\alpha_x + \alpha_{ex}) + 0,3 \cdot (\alpha_y - \alpha_{ey}) + 0,3 \cdot \alpha_z$; 6) $\alpha'_p + (\alpha_x + \alpha_{ex}) - 0,3 \cdot (\alpha_y - \alpha_{ey}) + 0,3 \cdot \alpha_z$;
- 7) $\alpha'_p + (\alpha_x + \alpha_{ex}) + 0,3 \cdot (\alpha_y - \alpha_{ey}) - 0,3 \cdot \alpha_z$; 8) $\alpha'_p + (\alpha_x + \alpha_{ex}) - 0,3 \cdot (\alpha_y - \alpha_{ey}) - 0,3 \cdot \alpha_z$;
- 9) $\alpha'_p + (\alpha_x - \alpha_{ex}) + 0,3 \cdot (\alpha_y + \alpha_{ey}) + 0,3 \cdot \alpha_z$; 10) $\alpha'_p + (\alpha_x - \alpha_{ex}) - 0,3 \cdot (\alpha_y + \alpha_{ey}) + 0,3 \cdot \alpha_z$;
- 11) $\alpha'_p + (\alpha_x - \alpha_{ex}) + 0,3 \cdot (\alpha_y + \alpha_{ey}) - 0,3 \cdot \alpha_z$; 12) $\alpha'_p + (\alpha_x - \alpha_{ex}) - 0,3 \cdot (\alpha_y + \alpha_{ey}) - 0,3 \cdot \alpha_z$;
- 13) $\alpha'_p + (\alpha_x - \alpha_{ex}) + 0,3 \cdot (\alpha_y - \alpha_{ey}) + 0,3 \cdot \alpha_z$; 14) $\alpha'_p + (\alpha_x - \alpha_{ex}) - 0,3 \cdot (\alpha_y - \alpha_{ey}) + 0,3 \cdot \alpha_z$;
- 15) $\alpha'_p + (\alpha_x - \alpha_{ex}) + 0,3 \cdot (\alpha_y - \alpha_{ey}) - 0,3 \cdot \alpha_z$; 16) $\alpha'_p + (\alpha_x - \alpha_{ex}) - 0,3 \cdot (\alpha_y - \alpha_{ey}) - 0,3 \cdot \alpha_z$;
- 17) $\alpha'_p + (\alpha_y + \alpha_{ey}) + 0,3 \cdot (\alpha_x + \alpha_{ex}) + 0,3 \cdot \alpha_z$; 18) $\alpha'_p + (\alpha_y + \alpha_{ey}) - 0,3 \cdot (\alpha_x + \alpha_{ex}) + 0,3 \cdot \alpha_z$;
- 19) $\alpha'_p + (\alpha_y + \alpha_{ey}) + 0,3 \cdot (\alpha_x + \alpha_{ex}) - 0,3 \cdot \alpha_z$; 20) $\alpha'_p + (\alpha_y + \alpha_{ey}) - 0,3 \cdot (\alpha_x + \alpha_{ex}) - 0,3 \cdot \alpha_z$;
- 21) $\alpha'_p + (\alpha_y + \alpha_{ey}) + 0,3 \cdot (\alpha_x - \alpha_{ex}) + 0,3 \cdot \alpha_z$; 22) $\alpha'_p + (\alpha_y + \alpha_{ey}) - 0,3 \cdot (\alpha_x - \alpha_{ex}) + 0,3 \cdot \alpha_z$;
- 23) $\alpha'_p + (\alpha_y + \alpha_{ey}) + 0,3 \cdot (\alpha_x - \alpha_{ex}) - 0,3 \cdot \alpha_z$; 24) $\alpha'_p + (\alpha_y + \alpha_{ey}) - 0,3 \cdot (\alpha_x - \alpha_{ex}) - 0,3 \cdot \alpha_z$;
- 25) $\alpha'_p + (\alpha_y - \alpha_{ey}) + 0,3 \cdot (\alpha_x + \alpha_{ex}) + 0,3 \cdot \alpha_z$; 26) $\alpha'_p + (\alpha_y - \alpha_{ey}) - 0,3 \cdot (\alpha_x + \alpha_{ex}) + 0,3 \cdot \alpha_z$;
- 27) $\alpha'_p + (\alpha_y - \alpha_{ey}) + 0,3 \cdot (\alpha_x + \alpha_{ex}) - 0,3 \cdot \alpha_z$; 28) $\alpha'_p + (\alpha_y - \alpha_{ey}) - 0,3 \cdot (\alpha_x + \alpha_{ex}) - 0,3 \cdot \alpha_z$;
- 29) $\alpha'_p + (\alpha_y - \alpha_{ey}) + 0,3 \cdot (\alpha_x - \alpha_{ex}) + 0,3 \cdot \alpha_z$; 30) $\alpha'_p + (\alpha_y - \alpha_{ey}) - 0,3 \cdot (\alpha_x - \alpha_{ex}) + 0,3 \cdot \alpha_z$;
- 31) $\alpha'_p + (\alpha_y - \alpha_{ey}) + 0,3 \cdot (\alpha_x - \alpha_{ex}) - 0,3 \cdot \alpha_z$; 32) $\alpha'_p + (\alpha_y - \alpha_{ey}) - 0,3 \cdot (\alpha_x - \alpha_{ex}) - 0,3 \cdot \alpha_z$;
- 33) $\alpha'_p + \alpha_z + 0,3 \cdot (\alpha_x + \alpha_{ex}) + 0,3 \cdot (\alpha_y + \alpha_{ey})$; 34) $\alpha'_p + \alpha_z - 0,3 \cdot (\alpha_x + \alpha_{ex}) + 0,3 \cdot (\alpha_y + \alpha_{ey})$;
- 35) $\alpha'_p + \alpha_z + 0,3 \cdot (\alpha_x + \alpha_{ex}) - 0,3 \cdot (\alpha_y + \alpha_{ey})$; 36) $\alpha'_p + \alpha_z - 0,3 \cdot (\alpha_x + \alpha_{ex}) - 0,3 \cdot (\alpha_y + \alpha_{ey})$;
- 37) $\alpha'_p + \alpha_z + 0,3 \cdot (\alpha_x - \alpha_{ex}) + 0,3 \cdot (\alpha_y - \alpha_{ey})$; 38) $\alpha'_p + \alpha_z - 0,3 \cdot (\alpha_x - \alpha_{ex}) + 0,3 \cdot (\alpha_y - \alpha_{ey})$;
- 39) $\alpha'_p + \alpha_z + 0,3 \cdot (\alpha_x - \alpha_{ex}) - 0,3 \cdot (\alpha_y - \alpha_{ey})$; 40) $\alpha'_p + \alpha_z - 0,3 \cdot (\alpha_x - \alpha_{ex}) - 0,3 \cdot (\alpha_y - \alpha_{ey})$;
- 41) $\alpha'_p + \alpha_z + 0,3 \cdot (\alpha_x - \alpha_{ex}) + 0,3 \cdot (\alpha_y + \alpha_{ey})$; 42) $\alpha'_p + \alpha_z - 0,3 \cdot (\alpha_x - \alpha_{ex}) + 0,3 \cdot (\alpha_y + \alpha_{ey})$;
- 43) $\alpha'_p + \alpha_z + 0,3 \cdot (\alpha_x - \alpha_{ex}) - 0,3 \cdot (\alpha_y + \alpha_{ey})$; 44) $\alpha'_p + \alpha_z - 0,3 \cdot (\alpha_x - \alpha_{ex}) - 0,3 \cdot (\alpha_y + \alpha_{ey})$;
- 45) $\alpha'_p + \alpha_z + 0,3 \cdot (\alpha_x - \alpha_{ex}) + 0,3 \cdot (\alpha_y - \alpha_{ey})$; 46) $\alpha'_p + \alpha_z - 0,3 \cdot (\alpha_x - \alpha_{ex}) + 0,3 \cdot (\alpha_y - \alpha_{ey})$;
- 47) $\alpha'_p + \alpha_z + 0,3 \cdot (\alpha_x - \alpha_{ex}) - 0,3 \cdot (\alpha_y - \alpha_{ey})$; 48) $\alpha'_p + \alpha_z - 0,3 \cdot (\alpha_x - \alpha_{ex}) - 0,3 \cdot (\alpha_y - \alpha_{ey})$.

Nel caso di verifiche effettuate con sollecitazioni composte, per tenere conto del fatto che le sollecitazioni sismiche sono state ricavate come CQC delle sollecitazioni derivanti dai modi di vibrazione, dette N, Mx, My, Tx e Ty le sollecitazioni dovute al sisma, per ognuna delle combinazioni precedenti, sono state ricavate 32 combinazioni di carico permutando nel seguente modo i segni delle sollecitazioni derivanti dal sisma:

- 1) N, Mx, My, Tx e Ty; 2) N, Mx, -My, Tx e Ty; 3) N, -Mx, My, Tx e Ty; 4) N, -Mx, -My, Tx e Ty; 5) -N, Mx, My, Tx e Ty; 6) -N, Mx, -My, Tx e Ty; 7) -N, -Mx, My, Tx e Ty; 8) -N, -Mx, -My, Tx e Ty; 9) N, Mx, My, Tx e -Ty; 10) N, Mx, -My, Tx e -Ty; 11) N, -Mx, My, Tx e -Ty; 12) N, -Mx, -My, Tx e -Ty; 13) -N, Mx, My, Tx e -Ty; 14) -N, Mx, -My, Tx e -Ty; 15) -N, -Mx, My, Tx e -Ty; 16) -N, -Mx, -My, Tx e -Ty; 17) N, Mx, My, -Tx e Ty; 18) N, Mx, -My, -Tx e Ty; 19) N, -Mx, My, -Tx e Ty; 20) N, -Mx, -My, -Tx e Ty; 21) -N, Mx, My, -Tx e Ty; 22) -N, Mx, -My, -Tx e Ty; 23) -N, -Mx, My, -Tx e Ty; 24) -N, -Mx, -My, -Tx e Ty; 25) N, Mx, My, -Tx e -Ty; 26) N, Mx, -My, -Tx e -Ty; 27) N, -Mx, My, -Tx e -Ty; 28) N, -Mx, -My, -Tx e -Ty; 29) -N, Mx, My, -Tx e -Ty; 30) -N, Mx, -My, -Tx e -Ty; 31) -N, -Mx, My, -Tx e -Ty; 32) -N, -Mx, -My, -Tx e -Ty.

SERVIZIO(SLE): Caratteristica(RARA)

SERVIZIO(SLE): Caratteristica(RARA)

IdComb	CC 01 Carico Permanente	CC 02 Permanenti NON Strutturali	CC 03 Coperture accessibili solo per manutenzione	CC 04 Carico da Neve <= 1000 m s.l.m.	CC 05 Pressione del Vento (+X)	CC 06 Pressione del Vento (-X)	CC 07 Pressione del Vento (+Y)	CC 08 Pressione del Vento (-Y)
01	1,00	1,00	1,00	0,50	0,00	0,00	0,00	0,00
02	1,00	1,00	1,00	0,50	0,00	0,00	0,00	0,60
03	1,00	1,00	1,00	0,50	0,00	0,00	0,60	0,00
04	1,00	1,00	1,00	0,50	0,00	0,60	0,00	0,00
05	1,00	1,00	1,00	0,50	0,60	0,00	0,00	0,00
06	1,00	1,00	0,00	1,00	0,00	0,00	0,00	0,00
07	1,00	1,00	0,00	1,00	0,00	0,00	0,00	0,60
08	1,00	1,00	0,00	1,00	0,00	0,00	0,60	0,00
09	1,00	1,00	0,00	1,00	0,00	0,60	0,00	0,00
10	1,00	1,00	0,00	1,00	0,60	0,00	0,00	0,00
11	1,00	1,00	0,00	0,50	0,00	0,00	0,00	0,00
12	1,00	1,00	0,00	0,50	1,00	0,00	0,00	0,00
13	1,00	1,00	0,00	0,50	0,00	1,00	0,00	0,00
14	1,00	1,00	0,00	0,50	0,00	0,00	1,00	0,00

SERVIZIO(SLE): Caratteristica(RARA)

IdComb	CC 01 Carico Permanente	CC 02 Permanenti NON Strutturali	CC 03 Coperture accessibili solo per manutenzione	CC 04 Carico da Neve <= 1000 m s.l.m.	CC 05 Pressione del Vento (+X)	CC 06 Pressione del Vento (-X)	CC 07 Pressione del Vento (+Y)	CC 08 Pressione del Vento (-Y)
15	1,00	1,00	0,00	0,50	0,00	0,00	0,00	1,00

LEGENDA:

IdComb Numero identificativo della Combinazione di Carico.
CC Identificativo della tipologia di carico nella relativa tabella.
 CC 01= Carico Permanente
 CC 02= Permanenti NON Strutturali
 CC 03= Coperture accessibili solo per manutenzione
 CC 04= Carico da Neve <= 1000 m s.l.m.
 CC 05= Pressione del Vento (+X)
 CC 06= Pressione del Vento (-X)
 CC 07= Pressione del Vento (+Y)
 CC 08= Pressione del Vento (-Y)

SERVIZIO(SLE): Frequente

IdComb	SERVIZIO(SLE): Frequente							
	CC 01 Carico Permanente	CC 02 Permanenti NON Strutturali	CC 03 Coperture accessibili solo per manutenzione	CC 04 Carico da Neve <= 1000 m s.l.m.	CC 05 Pressione del Vento (+X)	CC 06 Pressione del Vento (-X)	CC 07 Pressione del Vento (+Y)	CC 08 Pressione del Vento (-Y)
01	1,00	1,00	0,00	0,20	0,00	0,00	0,00	0,00
02	1,00	1,00	0,00	0,00	0,20	0,00	0,00	0,00
03	1,00	1,00	0,00	0,00	0,00	0,20	0,00	0,00
04	1,00	1,00	0,00	0,00	0,00	0,00	0,20	0,00
05	1,00	1,00	0,00	0,00	0,00	0,00	0,00	0,20

LEGENDA:

IdComb Numero identificativo della Combinazione di Carico.
CC Identificativo della tipologia di carico nella relativa tabella.
 CC 01= Carico Permanente
 CC 02= Permanenti NON Strutturali
 CC 03= Coperture accessibili solo per manutenzione
 CC 04= Carico da Neve <= 1000 m s.l.m.
 CC 05= Pressione del Vento (+X)
 CC 06= Pressione del Vento (-X)
 CC 07= Pressione del Vento (+Y)
 CC 08= Pressione del Vento (-Y)

SERVIZIO(SLE): Quasi permanente

IdComb	SERVIZIO(SLE): Quasi permanente							
	CC 01 Carico Permanente	CC 02 Permanenti NON Strutturali	CC 03 Coperture accessibili solo per manutenzione	CC 04 Carico da Neve <= 1000 m s.l.m.	CC 05 Pressione del Vento (+X)	CC 06 Pressione del Vento (-X)	CC 07 Pressione del Vento (+Y)	CC 08 Pressione del Vento (-Y)
01	1,00	1,00	0,00	0,00	0,00	0,00	0,00	0,00

LEGENDA:

IdComb Numero identificativo della Combinazione di Carico.
CC Identificativo della tipologia di carico nella relativa tabella.
 CC 01= Carico Permanente
 CC 02= Permanenti NON Strutturali
 CC 03= Coperture accessibili solo per manutenzione
 CC 04= Carico da Neve <= 1000 m s.l.m.
 CC 05= Pressione del Vento (+X)
 CC 06= Pressione del Vento (-X)
 CC 07= Pressione del Vento (+Y)
 CC 08= Pressione del Vento (-Y)

DATI GENERALI ANALISI SISMICA

Dati generali analisi sismica											
Ang	NV	CD	MP	Dir	TS	EcA	I_Tmp	C.S.T.	RP	RH	ξ
[°]											[%]
0	25	ND	ac	X Y	- -	S	N	C	NO	SI	5

LEGENDA:

Ang Direzione di una componente dell'azione sismica rispetto all'asse X (sistema di riferimento globale); la seconda componente dell'azione sismica e' assunta con direzione ruotata di 90 gradi rispetto alla prima.
NV Nel caso di analisi dinamica, indica il numero di modi di vibrazione considerati.
CD Classe di duttilità: [A] = Alta - [B] = Media - [ND] = Non Dissipativa - [-] = Nessuna.
MP Tipo di struttura sismo-resistente prevalente: [ca] = calcestruzzo armato - [caOld] = calcestruzzo armato esistente - [muOld] = muratura esistente - [muNew] = muratura nuova - [muArm] = muratura armata - [ac] = acciaio.
Dir Direzione del sisma.
TS Tipologia della struttura:
 Cemento armato: [T 1C] = Telai ad una sola campata - [T+C] = Telai a più campate - [P] = Pareti accoppiate o miste equivalenti a pareti- [2P NC] = Due pareti per

Dati generali analisi sismica

Ang	NV	CD	MP	Dir	TS	EcA	IrTmp	C.S.T.	RP	RH	ξ
[°]											[%]
	direzione non accoppiate - [P NC] = Pareti non accoppiate - [DT] = Deformabili torsionalmente - [PI] = Pendolo inverso - [PM] = Pendolo inverso intelaiate monopiano; Muratura: [P] = un solo piano - [PP] = più di un piano - [C-P/MP] = muratura in pietra e/o mattoni pieni - [C-BAS] = muratura in blocchi artificiali con percentuale di foratura > 15%; Acciaio: [T 1C] = Telai ad una sola campata - [T+C] = Telai a più campate - [CT] = controventi concentrici diagonale tesa - [CV] = controventi concentrici a V - [M] = mensola o pendolo inverso - [TT] = telaio con tamponature. EcA Eccentricità accidentale: [S] = considerata come condizione di carico statica aggiuntiva - [N] = Considerata come incremento delle sollecitazioni. IrTmp Per piani con distribuzione dei tamponamenti in pianta fortemente irregolare, l'eccentricità accidentale è stata incrementata di un fattore pari a 2: [SI] = Distribuzione tamponamenti irregolare fortemente - [NO] = Distribuzione tamponamenti regolare. C.S.T. Categoria di sottosuolo: [A] = Ammassi rocciosi affioranti o terreni molto rigidi - [B] = Rocce tenere e depositi di terreni a grana grossa molto addensati o terreni a grana fina molto consistenti - [C] = Depositi di terreni a grana grossa mediamente addensati o terreni a grana fina mediamente consistenti - [D] = Depositi di terreni a grana grossa scarsamente addensati o di terreni a grana fina scarsamente consistenti - [E] = Terreni con caratteristiche e valori di velocità equivalente riconducibili a quelle definite per le categorie C o D. RP Regolarità in pianta: [SI] = Struttura regolare - [NO] = Struttura non regolare. RH Regolarità in altezza: [SI] = Struttura regolare - [NO] = Struttura non regolare. ξ Coefficiente viscoso equivalente. NOTE [-] = Parametro non significativo per il tipo di calcolo effettuato.										

DATI GENERALI ANALISI SISMICA - FATTORI DI COMPORTAMENTO

Dir	q'	q	q ₀	K _R	Fattori di comportamento	
					α _u /α ₁	k _w
X	-	1,500	4,00	-	1,00	-
Y	-	1,500	4,00	-	1,00	-
Z	-	1,500	-	-	-	-

LEGENDA:

- q'** Fattore di riduzione dello spettro di risposta sismico allo SLU ridotto (Fattore di comportamento ridotto - relazione C7.3.1 circolare NTC)
- q** Fattore di riduzione dello spettro di risposta sismico allo SLU (Fattore di comportamento).
- q₀** Valore di base (comprensivo di k_w).
- K_R** Fattore riduttivo funzione della regolarità in altezza : pari ad 1 per costruzioni regolari in altezza, 0,8 per costruzioni non regolari in altezza, e 0,75 per costruzioni in muratura esistenti non regolari in altezza (§ C8.5.5.1)..
- α_u/α₁** Rapporto di sovraresistenza.
- k_w** Fattore di riduzione di q₀.

Stato Limite	T _r	a _g /g	Amplif. Stratigrafica		F ₀	T [*] _c	T _B	T _C	T _D
			S _s	C _c					
	[t]					[s]	[s]	[s]	[s]
SLO	30	0,0537	1,500	1,617	2,463	0,270	0,146	0,437	1,815
SLD	50	0,0709	1,500	1,580	2,490	0,290	0,153	0,458	1,883
SLV	475	0,1972	1,409	1,509	2,461	0,333	0,168	0,503	2,389
SLC	975	0,2613	1,318	1,499	2,435	0,340	0,170	0,510	2,645

LEGENDA:

- T_r** Periodo di ritorno dell'azione sismica. [t] = anni.
- a_g/g** Coefficiente di accelerazione al suolo.
- S_s** Coefficienti di Amplificazione Stratigrafica allo SLO/SLD/SLV/SLC.
- C_c** Coefficienti di Amplificazione di T_c allo SLO/SLD/SLV/SLC.
- F₀** Valore massimo del fattore di amplificazione dello spettro in accelerazione orizzontale.
- T^{*}_c** Periodo di inizio del tratto a velocità costante dello spettro in accelerazione orizzontale.
- T_B** Periodo di inizio del tratto accelerazione costante dello spettro di progetto.
- T_C** Periodo di inizio del tratto a velocità costante dello spettro di progetto.
- T_D** Periodo di inizio del tratto a spostamento costante dello spettro di progetto.

Cl Ed	V _N	V _R	Lat.	Long.	Q _g	C _{Top}	S _T
	[t]	[t]	[°ssdc]	[°ssdc]	[m]		
2	50	50	41.630278	15.918333	5	T1	1,00

LEGENDA:

- Cl Ed** Classe dell'edificio
- V_N** Vita nominale ([t] = anni).
- V_R** Periodo di riferimento. [t] = anni.
- Lat.** Latitudine geografica del sito.
- Long.** Longitudine geografica del sito.
- Q_g** Altitudine geografica del sito.
- C_{Top}** Categoria topografica (Vedi NOTE).
- S_T** Coefficiente di amplificazione topografica.
- NOTE** [-] = Parametro non significativo per il tipo di calcolo effettuato.
 Categoria topografica.
 T1: Superficie pianeggiante, pendii e rilievi isolati con inclinazione media i <= 15°.
 T2: Pendii con inclinazione media i > 15°.
 T3: Rilievi con larghezza in cresta molto minore che alla base e inclinazione media 15° <= i <= 30°.
 T4: Rilievi con larghezza in cresta molto minore che alla base e inclinazione media i > 30°.

PRINCIPALI ELEMENTI ANALISI SISMICA

Dir	M _{Str}	M _{SLU}	M _{Ecc,SLU}	M _{SLD}	M _{Ecc,SLD}	%T.M _{Ecc}	ΣV _{Ed,SLU}
	[N-s ² /m]	[N-s ² /m]	[N-s ² /m]	[N-s ² /m]	[N-s ² /m]	[%]	[N]
X	14.896	6.456	6.301	6.456	6.301	97,58	28.861

Dir	M _{Str}	M _{SLU}	M _{Ecc,SLU}	M _{SLD}	M _{Ecc,SLD}	%T.M _{Ecc}	ΣV _{Ed,SLU}
	[N-s ² /m]	[N-s ² /m]	[N-s ² /m]	[N-s ² /m]	[N-s ² /m]	[%]	[N]
Y	14.896	6.456	6.154	6.456	6.154	95,33	28.861
Z	14.896	0	0	0	0	100,00	0

LEGENDA:

Dir	Direzione del sisma.
M_{Str}	Massa complessiva della struttura.
M_{SLU}	Massa eccitabile allo SLU.
M_{Ecc,SLU}	Massa Eccitata dal sisma allo SLU.
M_{SLD}	Massa eccitabile della struttura allo SLD, nelle direzioni X, Y, Z.
M_{Ecc,SLD}	Massa Eccitata dal sisma allo SLD.
%T.M_{Ecc}	Percentuale Totale di Masse Eccitate dal sisma.
ΣV_{Ed,SLU}	Tagliante totale, alla base, per sisma allo SLU.

RIEPILOGO MODI DI VIBRAZIONE MODI DI VIBRAZIONE N.25

Sp _{tr}	T	a _{g,o}	a _{g,v}	Γ	CM	%M.M	M _{Ecc}
	[s]	[m/s ²]	[m/s ²]			[%]	[N-s ² /m]
Modo Vibrazione n. 1							
SLU-X	0,335	4,470	0,000	-57,561	-0,1632	51,32	3.313
SLU-Y	0,335	4,470	0,000	-0,051	-0,0001	0,00	0
SLU-Z	0,000	0,000	1,159	0,000	0,0000	0,00	0
SLD-X	0,335	2,597	0,000	-57,561	-0,1632	51,32	3.313
SLD-Y	0,335	2,597	0,000	-0,051	-0,0001	0,00	0
SLD-Z	0,000	0,000	0,250	0,000	0,0000	0,00	0
Elast-X	-	2,597	0,000	-	-	-	-
Elast-Y	-	2,597	0,000	-	-	-	-
Elast-Z	-	0,000	1,159	-	-	-	-
Modo Vibrazione n. 2							
SLU-X	0,274	4,470	0,000	3,083	0,0059	0,15	10
SLU-Y	0,274	4,470	0,000	51,242	0,0973	40,67	2.626
SLU-Z	0,000	0,000	1,159	0,000	0,0000	0,00	0
SLD-X	0,274	2,597	0,000	3,083	0,0059	0,15	10
SLD-Y	0,274	2,597	0,000	51,242	0,0973	40,67	2.626
SLD-Z	0,000	0,000	0,250	0,000	0,0000	0,00	0
Elast-X	-	2,597	0,000	-	-	-	-
Elast-Y	-	2,597	0,000	-	-	-	-
Elast-Z	-	0,000	1,159	-	-	-	-
Modo Vibrazione n. 3							
SLU-X	0,120	3,976	0,000	0,386	0,0001	0,00	0
SLU-Y	0,120	3,976	0,000	-35,400	-0,0129	19,41	1.253
SLU-Z	0,000	0,000	1,159	0,000	0,0000	0,00	0
SLD-X	0,120	2,266	0,000	0,386	0,0001	0,00	0
SLD-Y	0,120	2,266	0,000	-35,400	-0,0129	19,41	1.253
SLD-Z	0,000	0,000	0,250	0,000	0,0000	0,00	0
Elast-X	-	2,266	0,000	-	-	-	-
Elast-Y	-	2,266	0,000	-	-	-	-
Elast-Z	-	0,000	1,159	-	-	-	-
Modo Vibrazione n. 4							
SLU-X	0,104	3,808	0,000	-27,214	-0,0075	11,47	741
SLU-Y	0,104	3,808	0,000	-1,168	-0,0003	0,02	1
SLU-Z	0,000	0,000	1,159	0,000	0,0000	0,00	0
SLD-X	0,104	2,101	0,000	-27,214	-0,0075	11,47	741
SLD-Y	0,104	2,101	0,000	-1,168	-0,0003	0,02	1
SLD-Z	0,000	0,000	0,250	0,000	0,0000	0,00	0
Elast-X	-	2,101	0,000	-	-	-	-
Elast-Y	-	2,101	0,000	-	-	-	-
Elast-Z	-	0,000	1,159	-	-	-	-
Modo Vibrazione n. 5							
SLU-X	0,270	4,470	0,000	26,041	0,0479	10,50	678
SLU-Y	0,270	4,470	0,000	-6,835	-0,0126	0,72	47
SLU-Z	0,000	0,000	1,159	0,000	0,0000	0,00	0
SLD-X	0,270	2,597	0,000	26,041	0,0479	10,50	678
SLD-Y	0,270	2,597	0,000	-6,835	-0,0126	0,72	47
SLD-Z	0,000	0,000	0,250	0,000	0,0000	0,00	0
Elast-X	-	2,597	0,000	-	-	-	-
Elast-Y	-	2,597	0,000	-	-	-	-
Elast-Z	-	0,000	1,159	-	-	-	-
Modo Vibrazione n. 6							
SLU-X	0,038	3,117	0,000	-20,678	-0,0007	6,62	428
SLU-Y	0,038	3,117	0,000	0,103	0,0000	0,00	0
SLU-Z	0,000	0,000	1,159	0,000	0,0000	0,00	0
SLD-X	0,038	1,426	0,000	-20,678	-0,0007	6,62	428
SLD-Y	0,038	1,426	0,000	0,103	0,0000	0,00	0
SLD-Z	0,000	0,000	0,250	0,000	0,0000	0,00	0
Elast-X	-	1,426	0,000	-	-	-	-
Elast-Y	-	1,426	0,000	-	-	-	-
Elast-Z	-	0,000	1,159	-	-	-	-
Modo Vibrazione n. 7							
SLU-X	0,151	4,293	0,000	0,039	0,0000	0,00	0
SLU-Y	0,151	4,293	0,000	-20,434	-0,0117	6,47	418
SLU-Z	0,000	0,000	1,159	0,000	0,0000	0,00	0
SLD-X	0,151	2,571	0,000	0,039	0,0000	0,00	0
SLD-Y	0,151	2,571	0,000	-20,434	-0,0117	6,47	418
SLD-Z	0,000	0,000	0,250	0,000	0,0000	0,00	0
Elast-X	-	2,571	0,000	-	-	-	-

Sptr	T	a _{g,o}	a _{g,v}	Γ	CM	%M.M	M _{Ecc}
Elast-Y	-	2,571	0,000	-	-	-	-
Elast-Z	-	0,000	1,159	-	-	-	-
Modo Vibrazione n. 8							
SLU-X	0,073	3,487	0,000	-0,097	0,0000	0,00	0
SLU-Y	0,073	3,487	0,000	19,016	0,0026	5,60	362
SLU-Z	0,000	0,000	1,159	0,000	0,0000	0,00	0
SLD-X	0,073	1,788	0,000	-0,097	0,0000	0,00	0
SLD-Y	0,073	1,788	0,000	19,016	0,0026	5,60	362
SLD-Z	0,000	0,000	0,250	0,000	0,0000	0,00	0
Elast-X	-	1,788	0,000	-	-	-	-
Elast-Y	-	1,788	0,000	-	-	-	-
Elast-Z	-	0,000	1,159	-	-	-	-
Modo Vibrazione n. 9							
SLU-X	0,036	3,098	0,000	18,933	0,0006	5,55	358
SLU-Y	0,036	3,098	0,000	-0,027	0,0000	0,00	0
SLU-Z	0,000	0,000	1,159	0,000	0,0000	0,00	0
SLD-X	0,036	1,408	0,000	18,933	0,0006	5,55	358
SLD-Y	0,036	1,408	0,000	-0,027	0,0000	0,00	0
SLD-Z	0,000	0,000	0,250	0,000	0,0000	0,00	0
Elast-X	-	1,408	0,000	-	-	-	-
Elast-Y	-	1,408	0,000	-	-	-	-
Elast-Z	-	0,000	1,159	-	-	-	-
Modo Vibrazione n. 10							
SLU-X	0,186	4,470	0,000	17,049	0,0149	4,50	291
SLU-Y	0,186	4,470	0,000	-1,184	-0,0010	0,02	1
SLU-Z	0,000	0,000	1,159	0,000	0,0000	0,00	0
SLD-X	0,186	2,597	0,000	17,049	0,0149	4,50	291
SLD-Y	0,186	2,597	0,000	-1,184	-0,0010	0,02	1
SLD-Z	0,000	0,000	0,250	0,000	0,0000	0,00	0
Elast-X	-	2,597	0,000	-	-	-	-
Elast-Y	-	2,597	0,000	-	-	-	-
Elast-Z	-	0,000	1,159	-	-	-	-
Modo Vibrazione n. 11							
SLU-X	0,037	3,111	0,000	-0,064	0,0000	0,00	0
SLU-Y	0,037	3,111	0,000	-16,589	-0,0006	4,26	275
SLU-Z	0,000	0,000	1,159	0,000	0,0000	0,00	0
SLD-X	0,037	1,420	0,000	-0,064	0,0000	0,00	0
SLD-Y	0,037	1,420	0,000	-16,589	-0,0006	4,26	275
SLD-Z	0,000	0,000	0,250	0,000	0,0000	0,00	0
Elast-X	-	1,420	0,000	-	-	-	-
Elast-Y	-	1,420	0,000	-	-	-	-
Elast-Z	-	0,000	1,159	-	-	-	-
Modo Vibrazione n. 12							
SLU-X	0,212	4,470	0,000	8,635	0,0098	1,16	75
SLU-Y	0,212	4,470	0,000	-15,838	-0,0180	3,89	251
SLU-Z	0,000	0,000	1,159	0,000	0,0000	0,00	0
SLD-X	0,212	2,597	0,000	8,635	0,0098	1,16	75
SLD-Y	0,212	2,597	0,000	-15,838	-0,0180	3,89	251
SLD-Z	0,000	0,000	0,250	0,000	0,0000	0,00	0
Elast-X	-	2,597	0,000	-	-	-	-
Elast-Y	-	2,597	0,000	-	-	-	-
Elast-Z	-	0,000	1,159	-	-	-	-
Modo Vibrazione n. 13							
SLU-X	0,213	4,470	0,000	-10,784	-0,0124	1,80	116
SLU-Y	0,213	4,470	0,000	-15,570	-0,0179	3,75	242
SLU-Z	0,000	0,000	1,159	0,000	0,0000	0,00	0
SLD-X	0,213	2,597	0,000	-10,784	-0,0124	1,80	116
SLD-Y	0,213	2,597	0,000	-15,570	-0,0179	3,75	242
SLD-Z	0,000	0,000	0,250	0,000	0,0000	0,00	0
Elast-X	-	2,597	0,000	-	-	-	-
Elast-Y	-	2,597	0,000	-	-	-	-
Elast-Z	-	0,000	1,159	-	-	-	-
Modo Vibrazione n. 14							
SLU-X	0,118	3,949	0,000	2,815	0,0010	0,12	8
SLU-Y	0,118	3,949	0,000	12,240	0,0043	2,32	150
SLU-Z	0,000	0,000	1,159	0,000	0,0000	0,00	0
SLD-X	0,118	2,239	0,000	2,815	0,0010	0,12	8
SLD-Y	0,118	2,239	0,000	12,240	0,0043	2,32	150
SLD-Z	0,000	0,000	0,250	0,000	0,0000	0,00	0
Elast-X	-	2,239	0,000	-	-	-	-
Elast-Y	-	2,239	0,000	-	-	-	-
Elast-Z	-	0,000	1,159	-	-	-	-
Modo Vibrazione n. 15							
SLU-X	0,049	3,230	0,000	-1,624	-0,0001	0,04	3
SLU-Y	0,049	3,230	0,000	10,509	0,0006	1,71	110
SLU-Z	0,000	0,000	1,159	0,000	0,0000	0,00	0
SLD-X	0,049	1,537	0,000	-1,624	-0,0001	0,04	3
SLD-Y	0,049	1,537	0,000	10,509	0,0006	1,71	110
SLD-Z	0,000	0,000	0,250	0,000	0,0000	0,00	0
Elast-X	-	1,537	0,000	-	-	-	-
Elast-Y	-	1,537	0,000	-	-	-	-
Elast-Z	-	0,000	1,159	-	-	-	-
Modo Vibrazione n. 16							
SLU-X	0,093	3,691	0,000	-10,047	-0,0022	1,56	101
SLU-Y	0,093	3,691	0,000	-0,563	-0,0001	0,00	0
SLU-Z	0,000	0,000	1,159	0,000	0,0000	0,00	0
SLD-X	0,093	1,987	0,000	-10,047	-0,0022	1,56	101

Sptr	T	a _{g,o}	a _{g,v}	Γ	CM	%M.M	M _{Ecc}
SLD-Y	0,093	1,987	0,000	-0,563	-0,0001	0,00	0
SLD-Z	0,000	0,000	0,250	0,000	0,0000	0,00	0
Elast-X	-	1,987	0,000	-	-	-	-
Elast-Y	-	1,987	0,000	-	-	-	-
Elast-Z	-	0,000	1,159	-	-	-	-
Modo Vibrazione n. 17							
SLU-X	0,033	3,069	0,000	1,553	0,0000	0,04	2
SLU-Y	0,033	3,069	0,000	-9,588	-0,0003	1,42	92
SLU-Z	0,000	0,000	1,159	0,000	0,0000	0,00	0
SLD-X	0,033	1,379	0,000	1,553	0,0000	0,04	2
SLD-Y	0,033	1,379	0,000	-9,588	-0,0003	1,42	92
SLD-Z	0,000	0,000	0,250	0,000	0,0000	0,00	0
Elast-X	-	1,379	0,000	-	-	-	-
Elast-Y	-	1,379	0,000	-	-	-	-
Elast-Z	-	0,000	1,159	-	-	-	-
Modo Vibrazione n. 18							
SLU-X	0,032	3,058	0,000	0,776	0,0000	0,01	1
SLU-Y	0,032	3,058	0,000	8,978	0,0002	1,25	81
SLU-Z	0,000	0,000	1,159	0,000	0,0000	0,00	0
SLD-X	0,032	1,368	0,000	0,776	0,0000	0,01	1
SLD-Y	0,032	1,368	0,000	8,978	0,0002	1,25	81
SLD-Z	0,000	0,000	0,250	0,000	0,0000	0,00	0
Elast-X	-	1,368	0,000	-	-	-	-
Elast-Y	-	1,368	0,000	-	-	-	-
Elast-Z	-	0,000	1,159	-	-	-	-
Modo Vibrazione n. 19							
SLU-X	0,112	3,887	0,000	-4,521	-0,0014	0,32	20
SLU-Y	0,112	3,887	0,000	8,110	0,0026	1,02	66
SLU-Z	0,000	0,000	1,159	0,000	0,0000	0,00	0
SLD-X	0,112	2,179	0,000	-4,521	-0,0014	0,32	20
SLD-Y	0,112	2,179	0,000	8,110	0,0026	1,02	66
SLD-Z	0,000	0,000	0,250	0,000	0,0000	0,00	0
Elast-X	-	2,179	0,000	-	-	-	-
Elast-Y	-	2,179	0,000	-	-	-	-
Elast-Z	-	0,000	1,159	-	-	-	-
Modo Vibrazione n. 20							
SLU-X	0,062	3,366	0,000	-1,016	-0,0001	0,02	1
SLU-Y	0,062	3,366	0,000	8,074	0,0008	1,01	65
SLU-Z	0,000	0,000	1,159	0,000	0,0000	0,00	0
SLD-X	0,062	1,670	0,000	-1,016	-0,0001	0,02	1
SLD-Y	0,062	1,670	0,000	8,074	0,0008	1,01	65
SLD-Z	0,000	0,000	0,250	0,000	0,0000	0,00	0
Elast-X	-	1,670	0,000	-	-	-	-
Elast-Y	-	1,670	0,000	-	-	-	-
Elast-Z	-	0,000	1,159	-	-	-	-
Modo Vibrazione n. 21							
SLU-X	0,039	3,130	0,000	-7,953	-0,0003	0,98	63
SLU-Y	0,039	3,130	0,000	0,150	0,0000	0,00	0
SLU-Z	0,000	0,000	1,159	0,000	0,0000	0,00	0
SLD-X	0,039	1,439	0,000	-7,953	-0,0003	0,98	63
SLD-Y	0,039	1,439	0,000	0,150	0,0000	0,00	0
SLD-Z	0,000	0,000	0,250	0,000	0,0000	0,00	0
Elast-X	-	1,439	0,000	-	-	-	-
Elast-Y	-	1,439	0,000	-	-	-	-
Elast-Z	-	0,000	1,159	-	-	-	-
Modo Vibrazione n. 22							
SLU-X	0,034	3,076	0,000	0,727	0,0000	0,01	1
SLU-Y	0,034	3,076	0,000	7,892	0,0002	0,96	62
SLU-Z	0,000	0,000	1,159	0,000	0,0000	0,00	0
SLD-X	0,034	1,386	0,000	0,727	0,0000	0,01	1
SLD-Y	0,034	1,386	0,000	7,892	0,0002	0,96	62
SLD-Z	0,000	0,000	0,250	0,000	0,0000	0,00	0
Elast-X	-	1,386	0,000	-	-	-	-
Elast-Y	-	1,386	0,000	-	-	-	-
Elast-Z	-	0,000	1,159	-	-	-	-
Modo Vibrazione n. 23							
SLU-X	0,040	3,141	0,000	0,188	0,0000	0,00	0
SLU-Y	0,040	3,141	0,000	7,019	0,0003	0,76	49
SLU-Z	0,000	0,000	1,159	0,000	0,0000	0,00	0
SLD-X	0,040	1,450	0,000	0,188	0,0000	0,00	0
SLD-Y	0,040	1,450	0,000	7,019	0,0003	0,76	49
SLD-Z	0,000	0,000	0,250	0,000	0,0000	0,00	0
Elast-X	-	1,450	0,000	-	-	-	-
Elast-Y	-	1,450	0,000	-	-	-	-
Elast-Z	-	0,000	1,159	-	-	-	-
Modo Vibrazione n. 24							
SLU-X	0,105	3,823	0,000	6,778	0,0019	0,71	46
SLU-Y	0,105	3,823	0,000	-1,761	-0,0005	0,05	3
SLU-Z	0,000	0,000	1,159	0,000	0,0000	0,00	0
SLD-X	0,105	2,116	0,000	6,778	0,0019	0,71	46
SLD-Y	0,105	2,116	0,000	-1,761	-0,0005	0,05	3
SLD-Z	0,000	0,000	0,250	0,000	0,0000	0,00	0
Elast-X	-	2,116	0,000	-	-	-	-
Elast-Y	-	2,116	0,000	-	-	-	-
Elast-Z	-	0,000	1,159	-	-	-	-
Modo Vibrazione n. 25							
SLU-X	0,070	3,456	0,000	6,703	0,0008	0,70	45

Sptr	T	a _{g,o}	a _{g,v}	Γ	CM	%M.M	M _{Ecc}
SLU-Y	0,070	3,456	0,000	-0,053	0,0000	0,00	0
SLU-Z	0,000	0,000	1,159	0,000	0,0000	0,00	0
SLD-X	0,070	1,758	0,000	6,703	0,0008	0,70	45
SLD-Y	0,070	1,758	0,000	-0,053	0,0000	0,00	0
SLD-Z	0,000	0,000	0,250	0,000	0,0000	0,00	0
Elast-X	-	1,758	0,000	-	-	-	-
Elast-Y	-	1,758	0,000	-	-	-	-
Elast-Z	-	0,000	1,159	-	-	-	-

LEGENDA:

Sptr	Spettro di risposta considerato.
T	Periodo del Modo di vibrazione.
a_{g,o}	Valore dell'Accelerazione Spettrale Orizzontale, riferita al corrispondente periodo.
a_{g,v}	Valore dell'Accelerazione Spettrale Verticale, riferita al corrispondente periodo.
Γ	Coefficiente di partecipazione.
CM	Coefficiente modale del modo di vibrazione.
%M.M	Percentuale di mobilitazione delle masse nel modo di vibrazione.
M_{Ecc}	Massa Eccitata nel modo di vibrazione.
SLU-X	Spettro di progetto allo S.L. Ultimo per sisma in direzione X.
SLU-Y	Spettro di progetto allo S.L. Ultimo per sisma in direzione Y.
SLU-Z	Spettro di progetto allo S.L. Ultimo per sisma in direzione Z.
SLD-X	Spettro di progetto allo S.L. di Danno per sisma in direzione X.
SLD-Y	Spettro di progetto allo S.L. di Danno per sisma in direzione Y.
SLD-Z	Spettro di progetto allo S.L. di Danno per sisma in direzione Z.
Elast-X	Spettro Elastico per sisma in direzione X.
Elast-Y	Spettro Elastico per sisma in direzione Y.
Elast-Z	Spettro Elastico per sisma in direzione Z.

TRAVI IN ELEVAZIONE

Id _{Tr}	L _{Li}	Sezione			V. Int.			Stz	Note	Mt rl	AA /C IS	Nd i	Nd f	Dis- j	Travi in elevazione			Pr/ Sc
		Id _{Sz}	TP	Label	Rtz	Iniz.	Fin.								Q _{LLI} Iniz	Clc Fnd	Pr/ Sc	
	[m]				[*ssdc]									[m]	[m]	[m]		
Piano Terra																		
Travata: Piano Terra																		
Trave Acciaio 5a-1	0,78	001	□	120x60x4.0	0,00	S;S;S;S;S;S	S;S;S;S;S;S	-		00 1	-	00 45	00 04	0,78	1,21	1,52	NO	-
Trave Acciaio 6a-2	0,77	001	□	120x60x4.0	0,00	S;S;S;S;S;S	S;S;S;S;S;S	-		00 1	-	43 02	00 00	0,77	1,21	1,52	NO	-
Trave Acciaio 7a-3	0,78	001	□	120x60x4.0	0,00	S;S;S;S;S;S	S;S;S;S;S;S	-		00 1	-	44 05	00 00	0,78	1,21	1,52	NO	-
Trave Acciaio 33a-37a	0,21	001	□	120x60x4.0	0,00	S;S;S;S;S;S	S;S;S;S;S;S	-		00 1	-	15 12	00 00	0,21	3,11	3,19	NO	-
Trave Acciaio 34a-38a	0,23	001	□	120x60x4.0	0,00	S;S;S;S;S;S	S;S;S;S;S;S	-		00 1	-	40 13	00 00	0,23	3,11	3,20	NO	-
Trave Acciaio 35a-39a	0,24	001	□	120x60x4.0	0,00	S;S;S;S;S;S	S;S;S;S;S;S	-		00 1	-	42 14	00 00	0,24	3,11	3,19	NO	-
Trave Acciaio 26a-4	0,35	001	□	120x60x4.0	0,00	S;S;S;S;S;S	S;S;S;S;S;S	-		00 1	-	40 07	00 00	0,36	2,73	2,85	NO	-
Trave Acciaio 28a-6	0,36	001	□	120x60x4.0	0,00	S;S;S;S;S;S	S;S;S;S;S;S	-		00 1	-	39 48	00 00	0,37	2,72	2,85	NO	-
Trave Acciaio 23a-28a	0,99	001	□	120x60x4.0	0,00	S;S;S;S;S;S	S;S;S;S;S;S	-		00 1	-	38 39	00 00	1,00	2,38	2,72	NO	-
Trave Acciaio 4-33a	0,76	001	□	120x60x4.0	0,00	S;S;S;S;S;S	S;S;S;S;S;S	-		00 1	-	00 15	00 00	0,76	2,85	3,11	NO	-
Trave Acciaio 5-34a	0,76	001	□	120x60x4.0	0,00	S;S;S;S;S;S	S;S;S;S;S;S	-		00 1	-	10 41	00 00	0,76	2,85	3,11	NO	-
Trave Acciaio 27a-5	0,37	001	□	120x60x4.0	0,00	S;S;S;S;S;S	S;S;S;S;S;S	-		00 1	-	50 10	00 00	0,37	2,71	2,83	NO	-
Trave Acciaio 16a-22a	1,12	001	□	120x60x4.0	0,00	S;S;S;S;S;S	S;S;S;S;S;S	-		00 1	-	35 16	00 00	1,12	1,99	2,38	NO	-
Trave Acciaio 2a-5a	0,27	001	□	120x60x4.0	0,00	S;S;S;S;S;S	S;S;S;S;S;S	-		00 1	-	19 45	00 00	0,27	1,11	1,21	NO	-
Trave Acciaio 1a-6a	0,28	001	□	120x60x4.0	0,00	S;S;S;S;S;S	S;S;S;S;S;S	-		00 1	-	00 43	00 00	0,28	1,11	1,21	NO	-
Trave Acciaio 3a-7a	0,27	001	□	120x60x4.0	0,00	S;S;S;S;S;S	S;S;S;S;S;S	-		00 1	-	18 44	00 00	0,27	1,11	1,21	NO	-
Trave Acciaio 6-35a	0,75	001	□	120x60x4.0	0,00	S;S;S;S;S;S	S;S;S;S;S;S	-		00 1	-	48 42	00 00	0,75	2,85	3,11	NO	-
Trave Acciaio 17a-23a	1,15	001	□	120x60x4.0	0,00	S;S;S;S;S;S	S;S;S;S;S;S	-		00 1	-	36 38	00 00	1,14	1,98	2,38	NO	-
Trave Acciaio 21a-26a	1,00	001	□	120x60x4.0	0,00	S;S;S;S;S;S	S;S;S;S;S;S	-		00 1	-	37 40	00 00	1,00	2,38	2,73	NO	-
Trave Acciaio 15a-21a	1,15	001	□	120x60x4.0	0,00	S;S;S;S;S;S	S;S;S;S;S;S	-		00 1	-	29 37	00 00	1,15	1,98	2,38	NO	-
Trave Acciaio 11a-16a	0,97	001	□	120x60x4.0	0,00	S;S;S;S;S;S	S;S;S;S;S;S	-		00 1	-	33 35	00 00	0,97	1,65	1,99	NO	-
Trave Acciaio 10a-15a	0,97	001	□	120x60x4.0	0,00	S;S;S;S;S;S	S;S;S;S;S;S	-		00 1	-	32 29	00 00	0,97	1,65	1,98	NO	-
Trave Acciaio 12a-17a	0,97	001	□	120x60x4.0	0,00	S;S;S;S;S;S	S;S;S;S;S;S	-		00 1	-	34 36	00 00	0,97	1,65	1,98	NO	-
Trave Acciaio 2-11a	0,38	001	□	120x60x4.0	0,00	S;S;S;S;S;S	S;S;S;S;S;S	-		00 1	-	02 33	00 00	0,38	1,52	1,65	NO	-
Trave Acciaio 1-10a	0,37	001	□	120x60x4.0	0,00	S;S;S;S;50; 50	S;S;S;S;S;S	-		00 1	-	00 04	00 32	0,37	1,52	1,65	NO	-
Trave Acciaio 3-12a	0,37	001	□	120x60x4.0	0,00	S;S;S;S;S;S	S;S;S;S;S;S	-		00 00	-	00 00	00 00	0,37	1,52	1,65	NO	-

Id _{Tr}	L _{LI}	Sezione				V. Int.		Stz	Note	Mtr rl	AA /C IS	Nd i	Nd f	Disi- j	Q _{LLI}		Clc Fnd	Pr/ Sc
		Id _{Sz}	Tp	Label	Rtz	Iniz.	Fin.								Iniz	Fin.		
Trave Acciaio 19a-5	2,56	003	⌈	2L 80x80x8[20]	0,00	S;S;S;S;S	S;S;S;S;S	-		1 00 1	-	05 00 46	34 00 09	2,56	1,00	0,00	NO	-
Trave Acciaio 19a-5	2,98	003	⌈	2L 80x80x8[20]	0,00	S;S;S;S;S	S;S;S;S;S	-		1 00 1	-	00 46 10	00 00 00	2,98	1,00	2,85	NO	-
Trave Acciaio 2-19a	1,61	003	⌈	2L 80x80x8[20]	0,00	S;S;S;S;S	S;S;S;S;S	-		1 00 1	-	00 06 46	00 00 46	1,61	0,00	1,00	NO	-
Trave Acciaio 2-19a	1,35	003	⌈	2L 80x80x8[20]	0,00	S;S;S;S;S	S;S;S;S;S	-		1 00 1	-	00 02 46	00 00 46	1,35	1,52	1,00	NO	-
Trave Acciaio 5-30a	2,82	006	⌈	2L 80x80x8[20]	0,00	S;S;S;S;S	S;S;S;S;S	-		1 00 1	-	00 09 47	00 00 47	2,82	0,00	1,42	NO	-
Trave Acciaio 30a-6	2,82	006	⌈	2L 80x80x8[20]	0,00	S;S;S;S;S	S;S;S;S;S	-		1 00 1	-	00 47 48	00 00 48	2,82	1,42	2,85	NO	-
Trave Acciaio 22a-27a	1,00	001	□	120x60x4.0	0,00	S;S;S;S;S	S;S;S;S;S	-		1 00 1	-	00 16 50	00 00 50	1,00	2,38	2,71	NO	-
Trave Acciaio 31a-5	2,81	006	⌈	2L 80x80x8[20]	0,00	S;S;S;S;S	S;S;S;S;S	-		1 00 1	-	00 51 09	00 00 09	2,81	1,42	0,00	NO	-
Trave Acciaio 4-31a	2,83	006	⌈	2L 80x80x8[20]	0,00	S;S;S;S;S	S;S;S;S;S	-		1 00 1	-	00 07 51	00 00 51	2,83	2,85	1,42	NO	-

LEGENDA:

- Id_{Tr}** Identificativo della trave. L'eventuale lettera tra parentesi distingue i diversi tratti della travata al livello considerato.
- L_{LI}** Lunghezza libera d'Inflessione.
- Id_{Sz}** Identificativo della sezione, nella relativa tabella.
- Tp** Tipo di sezione.
- Label** Identificativo della sezione, come indicato nelle carpenterie.
- Rtz** Angolo di rotazione della sezione.
- V. Int.** Identificativo delle condizioni di vincolo agli estremi inferiore e superiore del pilastro, costituito da sei caratteri. I primi tre, sono relativi alla traslazione rispettivamente lungo gli assi 1, 2 e 3, mentre i secondi tre sono relativi rispettivamente alla rotazione intorno agli assi 1, 2 e 3 (Assi 1, 2, 3: riferimento locale). Il carattere "S" o "N" indica se il vincolo allo spostamento/rotazione è presente o assente.
- Stz** Tipo di situazione: [F] = di Fatto (Esistente); [P] = di Progetto (Nuovo).
- Note** Nota relativa alla verifica di deformabilità delle travi in acciaio e in legno.
Se presente "elemento a sbalzo" = la freccia viene valutata nell'ipotesi di trave a mensola; altrimenti la freccia viene valutata nell'ipotesi di trave appoggiata-appoggiata.
- Mtrl** Identificativo del materiale.
- AA/CIS** Identificativo dell'aggressività dell'ambiente o della classe di servizio:
Aggressività dell'ambiente: [PCA] = "Ordinario"; [MDA] = "Aggressivo"; [MLA] = "Molto aggressivo";
Classe di servizio: [1] = Ambiente con umidità bassa - [2] = Ambiente con umidità media - [3] = Ambiente con umidità alta.
- Ndi** Identificativo del nodo iniziale, nella relativa tabella.
- Ndf** Identificativo del nodo finale, nella relativa tabella.
- Disi-j** Distanza tra il nodo iniziale e finale.
- Q_{LLI}** Quota agli estremi iniziale e finale del tratto di trave libero d'inflettersi (Lunghezza Libera d'Inflessione), valutata rispetto al livello (piano) di appartenenza.
- Clc Fnd** [Si] = elemento progettato attraverso una modalità di rispetto della Gerarchia delle Resistenze per le Fondazioni. [No] = elemento progettato con le sollecitazioni ottenute dall'analisi (senza nessuna modalità di rispetto della Gerarchia delle Resistenze per le Fondazioni).
- Pr/Sc** Indica se l'elemento strutturale è incluso nel modello per il calcolo delle azioni sismiche. [1] = non incluso; [-] = incluso.

PILASTRI

Nid	Lv	L _{LI}	Sezione				V. Int.		Mtrl	AA/CI S	Nod		Disi-j	Q _{LLI}		Clc Fnd	Pr/Sc
			Id _{Sz}	Tp	Label	Rtz	Inf.	Sup.			Inf.	Sup.		Inf.	Sup.		
004	01	2,85	004	I	HE 100 A	0,00	S;S;S;S;S	S;S;S;S;S	001	-	0008	0007	2,85	0,00	2,85	NO	-
005	01	2,85	004	I	HE 100 A	0,00	S;S;S;S;S	S;S;S;S;S	001	-	0009	0010	2,85	0,00	2,85	NO	-
006	01	2,85	004	I	HE 100 A	0,00	S;S;S;S;S	S;S;S;S;S	001	-	0049	0048	2,85	0,00	2,85	NO	-
003	01	1,52	004	I	HE 100 A	0,00	S;S;S;S;S	S;S;S;S;S	001	-	0001	0005	1,52	0,00	1,52	NO	-
002	01	1,52	004	I	HE 100 A	0,00	S;S;S;S;S	S;S;S;S;S	001	-	0006	0002	1,52	0,00	1,52	NO	-
001	01	1,52	004	I	HE 100 A	0,00	S;S;S;S;S	S;S;S;S;S	001	-	0003	0004	1,52	0,00	1,52	NO	-

LEGENDA:

- Nid** Numero identificativo della pilastrata. L'eventuale lettera tra parentesi distingue i diversi tratti della pilastrata al livello considerato.
- Lv** Identificativo del livello, nella relativa tabella.
- L_{LI}** Lunghezza libera d'Inflessione.
- Id_{Sz}** Identificativo della sezione, nella relativa tabella.
- Tp** Tipo di sezione.
- Label** Identificativo della sezione, come indicato nelle carpenterie.
- Rtz** Angolo di rotazione della sezione.
- V. Int.** Identificativo delle condizioni di vincolo agli estremi inferiore e superiore del pilastro, costituito da sei caratteri. I primi tre, sono relativi alla traslazione rispettivamente lungo gli assi 1, 2 e 3, mentre i secondi tre sono relativi rispettivamente alla rotazione intorno agli assi 1, 2 e 3 (Assi 1, 2, 3: riferimento locale). Il carattere "S" o "N" indica se il vincolo allo spostamento/rotazione è presente o assente.
- Mtrl** Identificativo del materiale.
- AA/CIS** Identificativo dell'aggressività dell'ambiente o della classe di servizio:
Aggressività dell'ambiente: [PCA] = "Ordinario"; [MDA] = "Aggressivo"; [MLA] = "Molto aggressivo";
Classe di servizio: [1] = Ambiente con umidità bassa - [2] = Ambiente con umidità media - [3] = Ambiente con umidità alta.
- Nod** Identificativo del nodo nella relativa tabella.
- Disi-j** Distanza tra il nodo iniziale e finale.
- Q_{LLI}** Quota agli estremi inferiore e superiore del tratto di elemento libero d'inflettersi (Lunghezza Libera d'Inflessione), valutata rispetto al livello (piano) di appartenenza.
- Clc Fnd** [Si] = elemento progettato attraverso una modalità di rispetto della Gerarchia delle Resistenze per le Fondazioni. [No] = elemento progettato con le sollecitazioni ottenute dall'analisi (senza nessuna modalità di rispetto della Gerarchia delle Resistenze per le Fondazioni).
- Pr/Sc** Indica se l'elemento strutturale è incluso nel modello per il calcolo delle azioni sismiche. [1] = non incluso; [-] = incluso.

TRAVI (AC) - VERIFICHE A COMPRESIONE (Elevazione)

Travi (AC) - Verifiche a compressione				
Id _{Tr}	%L _{L1}	N _{Ed}	N _{c,Rd}	CS
	[%]	[N]	[N]	
Piano Terra			Piano Terra	
Trave Acciaio 19a-5	0%	2.846	550.571	NS
	100,0%	3.038	550.571	NS
Trave Acciaio 19a-5	0%	1.452	550.571	NS
	100%	1.094	550.571	NS
Trave Acciaio 2-19a	0%	3.522	550.571	NS
	100,0%	3.329	550.571	NS
Trave Acciaio 2-19a	0%	991	550.571	NS
	100%	1.092	550.571	NS
Trave Acciaio 5-30a	0%	5.754	550.571	95,68
	100,0%	5.481	550.571	NS
Trave Acciaio 30a-6	0%	5.066	550.571	NS
	100,0%	4.792	550.571	NS
Trave Acciaio 31a-5	0%	5.509	550.571	99,94
	100,0%	5.782	550.571	95,22
Trave Acciaio 31a-5	0%	334	280.881	NS
	100,0%	195	280.881	NS
Trave Acciaio 4-31a	0%	4.803	550.571	NS
	100,0%	5.078	550.571	NS
Trave Acciaio 30a-5	0%	360	280.881	NS
	100,0%	221	280.881	NS

LEGENDA:

- Id_{Tr}** Identificativo della trave. L'eventuale lettera tra parentesi distingue i diversi tratti della travata al livello considerato.
- %L_{L1}** Posizione della sezione per la quale vengono forniti i valori di verifica, valutata come % della lunghezza libera d'inflessione (L_{L1}), a partire dall'estremo iniziale.
- N_{Ed}** Sforzo normale di progetto.
- N_{c,Rd}** Resistenza a compressione.
- CS** Coefficiente di sicurezza ([NS] = Non Significativo se CS ≥ 100; [VNR] = Verifica Non Richiesta; Informazioni aggiuntive sulla condizione: [V] = statica; [E] = eccezionale; [S] = sismica; [N] = sismica non lineare).

TRAVI (AC) - VERIFICHE A PRESSOFLESSIONE (Elevazione) allo SLU

Travi (AC) - Verifiche a pressoflessione												
Id _{Tr}	%L _{L1}	N _{Ed}	V _{Ed}	M _{Ed,3}	CS	Tp Vr	M _{c,Rd}	V _{c,Rd}	ρ	A _v	t _w	N _{pl,Rd}
	[%]	[N]	[N]	[N·m]			[N·m]	[N]		[mm ²]	[mm]	[N]
Piano Terra							Piano Terra					
Trave Acciaio 5a-1	0%	233	899	221	32,10	PLS	7.095	58.578	0,000	453	8,00	304.120
	25,0%	-1.216	1.068	320	22,17	PLS	7.095	58.578	0,000	453	8,00	304.120
	50,0%	-1.911	-4.038	978	11,88	PLS	11.616	117.156	0,000	907	8,00	304.120
	75,0%	-2.523	-5.443	1.903	6,10	PLS	11.616	117.156	0,000	907	8,00	304.120
	99,9%	-3.137	-6.851	3.101	3,75	PLS	11.616	117.156	0,000	907	8,00	304.120
Trave Acciaio 6a-2	0%	-1	1.365	32	NS	PLS	7.095	58.578	0,000	453	8,00	304.120
	25,1%	-691	1.359	240	29,56	PLS	7.095	58.578	0,000	453	8,00	304.120
	50,0%	-2.308	-5.281	1.169	9,94	PLS	11.616	117.156	0,000	907	8,00	304.120
	75,0%	-3.303	-7.569	2.405	4,83	PLS	11.616	117.156	0,000	907	8,00	304.120
	100,0%	-4.296	-9.847	4.080	2,85	PLS	11.616	117.156	0,000	907	8,00	304.120
Trave Acciaio 7a-3	0%	227	594	222	31,96	PLS	7.095	58.578	0,000	453	8,00	304.120
	25,0%	-1.218	-1.084	319	22,24	PLS	7.095	58.578	0,000	453	8,00	304.120
	50,0%	-1.921	-4.084	997	11,65	PLS	11.616	117.156	0,000	907	8,00	304.120
	75,0%	-2.528	-5.495	1.939	5,99	PLS	11.616	117.156	0,000	907	8,00	304.120
	99,9%	-3.146	-6.906	3.144	3,69	PLS	11.616	117.156	0,000	907	8,00	304.120
Trave Acciaio 33a-37a	0%	10	27	3	NS	PLS	11.616	117.156	0,000	907	8,00	304.397
	25,2%	6	16	1	NS	PLS	11.616	117.156	0,000	907	8,00	304.397
	50,0%	4	10	1	NS	PLS	11.616	117.156	0,000	907	8,00	304.120
	75,2%	6	8	-	NS	PLS	11.616	117.156	0,000	907	8,00	304.120
	99,9%	-4	3	-	NS	PLS	11.616	117.156	0,000	907	8,00	304.120
Trave Acciaio 34a-38a	0%	12	30	4	NS	PLS	11.616	117.156	0,000	907	8,00	304.397
	25,1%	9	22	3	NS	PLS	11.616	117.156	0,000	907	8,00	304.397
	49,8%	5	11	1	NS	PLS	11.616	117.156	0,000	907	8,00	304.397
	75,0%	7	10	-	NS	PLS	11.616	117.156	0,000	907	8,00	304.120
	100%	-	-	1	NS	PLS	11.616	117.156	0,000	907	8,00	304.120
Trave Acciaio 35a-39a	0%	12	31	4	NS	PLS	11.616	117.156	0,000	907	8,00	304.397
	25,1%	9	23	3	NS	PLS	11.616	117.156	0,000	907	8,00	304.397
	50,2%	4	12	1	NS	PLS	11.616	117.156	0,000	907	8,00	304.120
	74,8%	2	6	1	NS	PLS	11.616	117.156	0,000	907	8,00	304.120
	99,9%	-4	3	-	NS	PLS	11.616	117.156	0,000	907	8,00	304.120
Trave Acciaio 26a-4	0%	-1.513	-15.519	3.679	3,16	PLS	11.616	117.156	0,000	907	8,00	304.120
	25,1%	-1.552	-15.626	5.056	2,30	PLS	11.616	117.156	0,000	907	8,00	304.120
	49,9%	-1.598	-15.749	6.449	1,80	PLS	11.616	117.156	0,000	907	8,00	304.120
	75,0%	-1.642	-15.871	7.852	1,48	PLS	11.616	117.156	0,000	907	8,00	304.120
	100%	-1.687	-15.988	9.260	1,25	PLS	11.616	117.156	0,000	907	8,00	304.120
Trave Acciaio 28a-6	0%	-1.705	-15.325	3.562	3,26	PLS	11.616	117.156	0,000	907	8,00	304.120
	25,0%	-1.745	-15.428	4.956	2,34	PLS	11.616	117.156	0,000	907	8,00	304.120
	50,1%	-1.794	-15.551	6.366	1,82	PLS	11.616	117.156	0,000	907	8,00	304.120
	75,1%	-1.841	-15.67	7.789	1,49	PLS	11.616	117.156	0,000	907	8,00	304.120

Travi (AC) - Verifiche a pressoflessione

IdTr	%LL	N _{Ed}	V _{Ed}	M _{Ed,3}	CS	Tp Vr	M _{C,Rd}	V _{C,Rd}	ρ	A _v	t _w	N _{pl,Rd}
	[%]											
Trave Acciaio 23a-28a	100%	-1.891	-15.803	9.219	1,26	PLS	11.616	117.156	0,000	907	8,00	304.120
	0%	2.022	-5.960	6.007	1,93	PLS	11.616	117.156	0,000	907	8,00	304.397
	25,0%	1.360	-7.763	4.311	2,69	PLS	11.616	117.156	0,000	907	8,00	304.120
	50,0%	528	-8.967	2.223	5,23	PLS	11.616	117.156	0,000	907	8,00	304.120
	75,0%	760	-1.565	1.403	8,28	PLS	11.616	117.156	0,000	907	8,00	304.120
Trave Acciaio 4-33a	100%	-592	-13.077	3.510	3,31	PLS	11.616	117.156	0,000	907	8,00	304.120
	0%	852	1.138	891	7,96	PLS	7.095	58.578	0,000	453	8,00	304.120
	25,0%	756	1.138	677	10,48	PLS	7.095	58.578	0,000	453	8,00	304.120
	50,1%	661	1.138	459	15,46	PLS	7.095	58.578	0,000	453	8,00	304.120
	75,0%	564	1.138	245	28,96	PLS	7.095	58.578	0,000	453	8,00	304.120
Trave Acciaio 32a-33a	100,0%	584	1.244	223	31,82	PLS	7.095	58.578	0,000	453	8,00	304.120
	0%	-244	15	155	8,98	ELA	1.403	162.167	0,000	1.255	40,00	280.881
	25,0%	-244	-843	216	6,46	ELA	1.403	162.167	0,000	1.255	40,00	280.881
	50,0%	-244	-888	435	3,22	ELA	1.403	162.167	0,000	1.255	40,00	280.881
	75,0%	-244	-930	663	2,11	ELA	1.403	162.167	0,000	1.255	40,00	280.881
Trave Acciaio 5-34a	100%	-245	-988	901	1,56	ELA	1.403	162.167	0,000	1.255	40,00	280.881
	0%	257	703	489	23,75	PLS	11.616	117.156	0,000	907	8,00	304.120
	25,0%	248	678	359	32,36	PLS	11.616	117.156	0,000	907	8,00	304.120
	50,0%	239	653	232	50,07	PLS	11.616	117.156	0,000	907	8,00	304.120
	75,0%	112	235	124	57,22	PLS	7.095	58.578	0,000	453	8,00	304.120
Trave Acciaio 35a-36a	100%	239	249	169	41,98	PLS	7.095	58.578	0,000	453	8,00	304.120
	0%	-199	985	904	1,55	ELA	1.403	162.167	0,000	1.255	40,00	280.881
	25,0%	-200	927	663	2,11	ELA	1.403	162.167	0,000	1.255	40,00	280.881
	50,0%	-200	885	434	3,23	ELA	1.403	162.167	0,000	1.255	40,00	280.881
	75,0%	-200	841	223	6,26	ELA	1.403	162.167	0,000	1.255	40,00	280.881
Trave Acciaio 27a-5	100%	-200	5	146	9,55	ELA	1.403	162.167	0,000	1.255	40,00	280.881
	0%	9.017	-18.873	4.343	2,67	PLS	11.616	117.156	0,000	907	8,00	304.120
	25,0%	9.013	-18.885	6.080	1,91	PLS	11.616	117.156	0,000	907	8,00	304.120
	50,0%	9.008	-18.898	7.818	1,49	PLS	11.616	117.156	0,000	907	8,00	304.120
	75,0%	9.004	-18.909	9.559	1,22	PLS	11.616	117.156	0,000	907	8,00	304.120
Trave Acciaio 21a-22a	100,0%	9.000	-18.921	11.297	1,03	PLS	11.616	117.156	0,000	907	8,00	304.120
	0%	-444	656	768	1,82	ELA	1.403	162.167	0,000	1.255	40,00	280.881
	25,0%	-455	214	217	6,40	ELA	1.403	162.167	0,000	1.255	40,00	280.881
	50,0%	-444	96	155	8,93	ELA	1.403	162.167	0,000	1.255	40,00	280.881
	75,0%	-444	-182	106	12,97	ELA	1.403	162.167	0,000	1.255	40,00	280.881
Trave Acciaio 16a-22a	100,0%	-444	-459	292	4,77	ELA	1.403	162.167	0,000	1.255	40,00	280.881
	0%	18.730	7.606	6.966	1,67	PLS	11.616	117.156	0,000	907	8,00	304.397
	25,0%	17.477	4.209	8.621	1,35	PLS	11.616	117.156	0,000	907	8,00	304.397
	50,0%	16.215	803	9.328	1,25	PLS	11.616	117.156	0,000	907	8,00	304.397
	75,0%	14.963	-2.595	9.074	1,28	PLS	11.616	117.156	0,000	907	8,00	304.397
Trave Acciaio 7a-8a	100%	13.778	-5.792	7.868	1,48	PLS	11.616	117.156	0,000	907	8,00	304.397
	0%	412	1.066	962	2,48	PLS	2.384	162.167	0,000	1.255	40,00	280.881
	25,0%	412	1.024	695	3,43	PLS	2.384	162.167	0,000	1.255	40,00	280.881
	50,0%	412	973	441	5,40	PLS	2.384	162.167	0,000	1.255	40,00	280.881
	75,0%	425	-139	216	11,04	PLS	2.384	162.167	0,000	1.255	40,00	280.881
Trave Acciaio 2a-5a	100%	565	348	268	8,89	PLS	2.384	162.167	0,000	1.255	40,00	280.881
	0%	-4	2	-	NS	PLS	11.616	117.156	0,000	907	8,00	304.120
	24,9%	-7	-5	-	NS	PLS	11.616	117.156	0,000	907	8,00	304.120
	49,9%	-6	-14	1	NS	PLS	11.616	117.156	0,000	907	8,00	304.120
	75,2%	-10	-26	3	NS	PLS	11.616	117.156	0,000	907	8,00	304.120
Trave Acciaio 1a-6a	100%	-14	-35	5	NS	PLS	11.616	117.156	0,000	907	8,00	304.120
	0%	-4	4	-	NS	PLS	11.616	117.156	0,000	907	8,00	304.120
	25,1%	1	-3	1	NS	PLS	11.616	117.156	0,000	907	8,00	304.120
	49,9%	-2	-10	3	NS	PLS	11.616	117.156	0,000	907	8,00	304.120
	75,1%	-5	-17	4	NS	PLS	11.616	117.156	0,000	907	8,00	304.120
Trave Acciaio 3a-7a	99,8%	-8	-24	7	NS	PLS	11.616	117.156	0,000	907	8,00	304.120
	0%	-4	-	-	NS	PLS	11.616	117.156	0,000	907	8,00	304.120
	24,9%	-7	-7	-	NS	PLS	11.616	117.156	0,000	907	8,00	304.120
	49,9%	-6	-14	1	NS	PLS	11.616	117.156	0,000	907	8,00	304.120
	75,2%	-10	-26	3	NS	PLS	11.616	117.156	0,000	907	8,00	304.120
Trave Acciaio 6-35a	100%	-14	-35	5	NS	PLS	11.616	117.156	0,000	907	8,00	304.120
	0%	823	-1.167	897	7,91	PLS	7.095	58.578	0,000	453	8,00	304.120
	25,0%	730	-1.167	679	10,45	PLS	7.095	58.578	0,000	453	8,00	304.120
	50,0%	634	-1.167	461	15,39	PLS	7.095	58.578	0,000	453	8,00	304.120
	75,0%	540	-1.167	242	29,32	PLS	7.095	58.578	0,000	453	8,00	304.120
Trave Acciaio 17a-23a	100%	574	231	221	32,10	PLS	7.095	58.578	0,000	453	8,00	304.120
	0%	5.762	4.128	6.012	1,93	PLS	11.616	117.156	0,000	907	8,00	304.397
	25,0%	5.036	2.143	6.929	1,68	PLS	11.616	117.156	0,000	907	8,00	304.397
	50,0%	4.259	28	7.239	1,60	PLS	11.616	117.156	0,000	907	8,00	304.120
	75,0%	3.483	-2.089	6.947	1,67	PLS	11.616	117.156	0,000	907	8,00	304.120
Trave Acciaio 21a-26a	100%	2.792	-3.968	6.048	1,92	PLS	11.616	117.156	0,000	907	8,00	304.120
	0%	1.802	-6.195	6.130	1,89	PLS	11.616	117.156	0,000	907	8,00	304.397
	25,0%	1.171	-7.911	4.384	2,65	PLS	11.616	117.156	0,000	907	8,00	304.397
	50,0%	324	-9.102	2.245	5,17	PLS	11.616	117.156	0,000	907	8,00	304.120
	75,0%	433	-1.569	1.440	8,07	PLS	11.616	117.156	0,000	907	8,00	304.120
100,0%	-801	-13.24	3.617	3,21	PLS	11.616	117.156	0,000	907	8,00	304.120	

Travi (AC) - Verifiche a pressoflessione

IdTr	%LL	N _{Ed}	V _{Ed}	M _{Ed,3}	CS	Tp Vr	M _{c,Rd}	V _{c,Rd}	ρ	A _v	t _w	N _{pl,Rd}
	[%]											
Trave Acciaio 15a-21a	0%	5.557	3.903	6.388	1,82	PLS	11.616	117.156	0,000	907	8,00	304.397
	25,0%	4.824	1.917	7.240	1,60	PLS	11.616	117.156	0,000	907	8,00	304.397
	50,0%	4.043	-193	7.487	1,55	PLS	11.616	117.156	0,000	907	8,00	304.120
	75,0%	3.266	-2.307	7.127	1,63	PLS	11.616	117.156	0,000	907	8,00	304.120
	100%	2.553	-4.223	6.166	1,88	PLS	11.616	117.156	0,000	907	8,00	304.120
Trave Acciaio 14a-15a	0%	480	315	210	6,61	ELA	1.403	162.167	0,000	1.255	40,00	280.881
	25,0%	214	-1.212	239	5,85	ELA	1.403	162.167	0,000	1.255	40,00	280.881
	50,0%	214	-1.280	550	2,55	ELA	1.403	162.167	0,000	1.255	40,00	280.881
	75,0%	216	-1.343	879	1,59	ELA	1.403	162.167	0,000	1.255	40,00	280.881
	100%	216	-1.407	1.224	1,15	ELA	1.403	162.167	0,000	1.255	40,00	280.881
Trave Acciaio 23a-24a	0%	190	1.471	1.281	1,09	ELA	1.403	162.167	0,000	1.255	40,00	280.881
	25,0%	190	1.413	915	1,53	ELA	1.403	162.167	0,000	1.255	40,00	280.881
	50,0%	190	1.350	565	2,48	ELA	1.403	162.167	0,000	1.255	40,00	280.881
	75,0%	190	1.288	237	5,90	ELA	1.403	162.167	0,000	1.255	40,00	280.881
	100,0%	315	679	399	3,50	ELA	1.403	162.167	0,000	1.255	40,00	280.881
Trave Acciaio 17a-18a	0%	39	1.425	1.265	1,11	ELA	1.403	162.167	0,000	1.255	40,00	280.881
	25,0%	39	1.365	910	1,54	ELA	1.403	162.167	0,000	1.255	40,00	280.881
	50,0%	39	1.297	574	2,44	ELA	1.403	162.167	0,000	1.255	40,00	280.881
	75,0%	39	1.237	255	5,50	ELA	1.403	162.167	0,000	1.255	40,00	280.881
	100,0%	402	356	209	6,65	ELA	1.403	162.167	0,000	1.255	40,00	280.881
Trave Acciaio 11a-16a	0%	23.265	19.724	6.669	1,74	PLS	11.616	117.156	0,000	907	8,00	304.397
	25,0%	22.264	17.008	2.182	5,32	PLS	11.616	117.156	0,000	907	8,00	304.397
	50,0%	21.174	14.059	1.586	7,32	PLS	11.616	117.156	0,000	907	8,00	304.397
	75,0%	20.082	11.115	4.639	2,50	PLS	11.616	117.156	0,000	907	8,00	304.397
	100,0%	19.091	8.424	6.992	1,66	PLS	11.616	117.156	0,000	907	8,00	304.397
Trave Acciaio 10a-15a	0%	8.573	12.187	2.698	4,31	PLS	11.616	117.156	0,000	907	8,00	304.120
	25,0%	5.561	3.811	1.096	10,60	PLS	11.616	117.156	0,000	907	8,00	304.120
	50,0%	7.498	9.263	2.766	4,20	PLS	11.616	117.156	0,000	907	8,00	304.120
	75,0%	6.832	7.476	4.796	2,42	PLS	11.616	117.156	0,000	907	8,00	304.120
	100,0%	6.230	5.840	6.403	1,81	PLS	11.616	117.156	0,000	907	8,00	304.120
Trave Acciaio 12a-17a	0%	8.721	12.467	3.315	3,50	PLS	11.616	117.156	0,000	907	8,00	304.120
	25,0%	5.644	3.951	1.216	9,55	PLS	11.616	117.156	0,000	907	8,00	304.120
	50,0%	7.652	9.542	2.267	5,12	PLS	11.616	117.156	0,000	907	8,00	304.120
	75,0%	6.989	7.751	4.363	2,66	PLS	11.616	117.156	0,000	907	8,00	304.120
	100%	6.392	6.107	6.028	1,93	PLS	11.616	117.156	0,000	907	8,00	304.120
Trave Acciaio 1-10a	0%	10.433	17.534	8.553	1,36	PLS	11.616	117.156	0,000	907	8,00	304.120
	24,9%	10.237	16.995	6.968	1,67	PLS	11.616	117.156	0,000	907	8,00	304.120
	50,0%	9.982	16.321	5.447	2,13	PLS	11.616	117.156	0,000	907	8,00	304.120
	74,9%	9.579	14.627	3.997	2,91	PLS	11.616	117.156	0,000	907	8,00	304.120
	100%	9.382	14.114	2.691	4,32	PLS	11.616	117.156	0,000	907	8,00	304.120
Trave Acciaio 3-12a	0%	10.646	17.949	9.297	1,25	PLS	11.616	117.156	0,000	907	8,00	304.120
	24,9%	10.398	17.272	7.686	1,51	PLS	11.616	117.156	0,000	907	8,00	304.120
	50,0%	10.148	16.592	6.141	1,89	PLS	11.616	117.156	0,000	907	8,00	304.120
	74,9%	9.900	15.918	4.657	2,49	PLS	11.616	117.156	0,000	907	8,00	304.120
	100%	9.548	14.372	3.316	3,50	PLS	11.616	117.156	0,000	907	8,00	304.120
Trave Acciaio 4a-5a	0%	572	455	265	8,99	PLS	2.384	162.167	0,000	1.255	40,00	280.881
	25,0%	422	152	214	11,14	PLS	2.384	162.167	0,000	1.255	40,00	280.881
	50,0%	408	-953	423	5,63	PLS	2.384	162.167	0,000	1.255	40,00	280.881
	75,0%	408	-997	670	3,56	PLS	2.384	162.167	0,000	1.255	40,00	280.881
	100%	408	-1.043	924	2,58	PLS	2.384	162.167	0,000	1.255	40,00	280.881
Trave Acciaio 5a-6a	0%	-330	482	521	4,57	PLS	2.384	162.167	0,000	1.255	40,00	280.881
	25,0%	-765	-3	143	16,67	PLS	2.384	162.167	0,000	1.255	40,00	280.881
	50,0%	-281	47	134	17,79	PLS	2.384	162.167	0,000	1.255	40,00	280.881
	75,0%	329	-34	126	18,92	PLS	2.384	162.167	0,000	1.255	40,00	280.881
	100%	329	-166	403	5,91	PLS	2.384	162.167	0,000	1.255	40,00	280.881
Trave Acciaio 6a-7a	0%	269	338	401	5,94	PLS	2.384	162.167	0,000	1.255	40,00	280.881
	25,0%	269	205	134	17,79	PLS	2.384	162.167	0,000	1.255	40,00	280.881
	50,0%	-336	-57	131	18,20	PLS	2.384	162.167	0,000	1.255	40,00	280.881
	75,0%	-775	-2	149	16,00	PLS	2.384	162.167	0,000	1.255	40,00	280.881
	100,0%	-345	-489	538	4,43	PLS	2.384	162.167	0,000	1.255	40,00	280.881
Trave Acciaio 33a-34a	0%	730	363	418	3,33	ELA	1.403	162.167	0,000	1.255	40,00	280.881
	25,0%	630	170	80	16,88	ELA	1.403	162.167	0,000	1.255	40,00	280.881
	50,0%	512	8	119	11,54	ELA	1.403	162.167	0,000	1.255	40,00	280.881
	75,0%	812	35	59	22,25	ELA	1.403	162.167	0,000	1.255	40,00	280.881

Travi (AC) - Verifiche a pressoflessione

Id _{Tr}	%L _{Lt}	N _{Ed}	V _{Ed}	M _{Ed,3}	CS	Tp Vr	M _{c,Rd}	V _{c,Rd}	ρ	A _v	t _w	N _{pl,Rd}
	[%]	[N]	[N]	[N·m]			[N·m]	[N]		[mm ²]	[mm]	[N]
Trave Acciaio 34a-35a	100,0 %	512	-305	241	5,76	ELA	1.403	162.167	0,000	1.255	40,00	280.881
	0%	534	305	243	5,71	ELA	1.403	162.167	0,000	1.255	40,00	280.881
	25,0%	870	40	58	22,51	ELA	1.403	162.167	0,000	1.255	40,00	280.881
	50,0%	534	-8	120	11,44	ELA	1.403	162.167	0,000	1.255	40,00	280.881
	75,0%	707	-171	82	16,41	ELA	1.403	162.167	0,000	1.255	40,00	280.881
Trave Acciaio 27a-28a	100%	810	-363	422	3,29	ELA	1.403	162.167	0,000	1.255	40,00	280.881
	0%	-1.763	365	241	5,62	ELA	1.403	162.167	0,000	1.255	40,00	280.881
	25,0%	1.811	69	84	15,08	ELA	1.403	162.167	0,000	1.255	40,00	280.881
	50,0%	-1.763	-65	128	10,26	ELA	1.403	162.167	0,000	1.255	40,00	280.881
	75,0%	-2.235	-250	106	11,98	ELA	1.403	162.167	0,000	1.255	40,00	280.881
Trave Acciaio 22a-23a	100,0 %	-2.064	-502	579	2,38	ELA	1.403	162.167	0,000	1.255	40,00	280.881
	0%	-15	452	274	5,12	ELA	1.403	162.167	0,000	1.255	40,00	280.881
	25,0%	-15	175	109	12,87	ELA	1.403	162.167	0,000	1.255	40,00	280.881
	50,0%	-18	-104	152	9,23	ELA	1.403	162.167	0,000	1.255	40,00	280.881
	75,0%	26	-233	224	6,26	ELA	1.403	162.167	0,000	1.255	40,00	280.881
Trave Acciaio 20a-21a	100%	-15	-661	789	1,78	ELA	1.403	162.167	0,000	1.255	40,00	280.881
	0%	-260	731	409	3,42	ELA	1.403	162.167	0,000	1.255	40,00	280.881
	25,0%	-89	-1.269	230	6,09	ELA	1.403	162.167	0,000	1.255	40,00	280.881
	50,0%	-89	-1.335	553	2,54	ELA	1.403	162.167	0,000	1.255	40,00	280.881
	75,0%	-89	-1.394	898	1,56	ELA	1.403	162.167	0,000	1.255	40,00	280.881
Trave Acciaio 15a-16a	100,0 %	-89	-1.459	1.257	1,12	ELA	1.403	162.167	0,000	1.255	40,00	280.881
	0%	857	642	755	1,85	ELA	1.403	162.167	0,000	1.255	40,00	280.881
	25,0%	983	-114	282	4,89	ELA	1.403	162.167	0,000	1.255	40,00	280.881
	50,0%	600	72	290	4,79	ELA	1.403	162.167	0,000	1.255	40,00	280.881
	75,0%	857	-176	104	12,96	ELA	1.403	162.167	0,000	1.255	40,00	280.881
Trave Acciaio 16a-17a	100,0 %	600	637	584	2,39	ELA	1.403	162.167	0,000	1.255	40,00	280.881
	0%	449	-638	585	2,39	ELA	1.403	162.167	0,000	1.255	40,00	280.881
	25,0%	607	170	101	13,49	ELA	1.403	162.167	0,000	1.255	40,00	280.881
	50,0%	449	-72	292	4,77	ELA	1.403	162.167	0,000	1.255	40,00	280.881
	75,0%	718	110	289	4,80	ELA	1.403	162.167	0,000	1.255	40,00	280.881
Trave Acciaio 10a-11a	100,0 %	607	-650	778	1,80	ELA	1.403	162.167	0,000	1.255	40,00	280.881
	0%	-1.838	605	640	2,16	ELA	1.403	162.167	0,000	1.255	40,00	280.881
	25,0%	-2.112	-151	200	6,66	ELA	1.403	162.167	0,000	1.255	40,00	280.881
	50,0%	-1.262	49	270	5,08	ELA	1.403	162.167	0,000	1.255	40,00	280.881
	75,0%	-878	-31	150	9,09	ELA	1.403	162.167	0,000	1.255	40,00	280.881
Trave Acciaio 11a-12a	100,0 %	-1.262	606	540	2,57	ELA	1.403	162.167	0,000	1.255	40,00	280.881
	0%	-1.202	-607	541	2,57	ELA	1.403	162.167	0,000	1.255	40,00	280.881
	25,0%	-965	231	146	9,30	ELA	1.403	162.167	0,000	1.255	40,00	280.881
	50,0%	-1.202	-49	272	5,05	ELA	1.403	162.167	0,000	1.255	40,00	280.881
	75,0%	-2.020	146	208	6,43	ELA	1.403	162.167	0,000	1.255	40,00	280.881
Trave Acciaio 26a-27a	100,0 %	-1.770	-610	657	2,11	ELA	1.403	162.167	0,000	1.255	40,00	280.881
	0%	-1.656	503	574	2,41	ELA	1.403	162.167	0,000	1.255	40,00	280.881
	25,0%	-1.838	250	99	12,97	ELA	1.403	162.167	0,000	1.255	40,00	280.881
	50,0%	-1.373	61	129	10,33	ELA	1.403	162.167	0,000	1.255	40,00	280.881
	75,0%	2.123	77	85	14,68	ELA	1.403	162.167	0,000	1.255	40,00	280.881
Trave Acciaio 22a-27a	100%	-1.316	-367	249	5,49	ELA	1.403	162.167	0,000	1.255	40,00	280.881
	0%	13.480	-6.493	7.873	1,48	PLS	11.616	117.156	0,000	907	8,00	304.397
	25,0%	12.500	-9.235	5.946	1,95	PLS	11.616	117.156	0,000	907	8,00	304.397
	50,0%	11.416	-12.264	3.272	3,55	PLS	11.616	117.156	0,000	907	8,00	304.397
	75,0%	4.209	1.748	575	12,34	PLS	7.095	58.578	0,000	453	8,00	304.397
Trave Acciaio 4a-9a	100%	9.294	-18.191	4.343	2,67	PLS	11.616	117.156	0,000	907	8,00	304.397
	0%	520	183	275	8,67	PLS	2.384	162.167	0,000	1.255	40,00	280.881
	25,0%	477	183	148	16,11	PLS	2.384	162.167	0,000	1.255	40,00	280.881
	50,0%	162	-3	153	15,58	PLS	2.384	162.167	0,000	1.255	40,00	280.881
	75,0%	15	-422	124	19,22	PLS	2.384	162.167	0,000	1.255	40,00	280.881
Trave Acciaio 9a-14a	100%	-116	-422	243	9,81	PLS	2.384	162.167	0,000	1.255	40,00	280.881
	0%	1.299	530	243	9,81	PLS	2.384	162.167	0,000	1.255	40,00	280.881
	25,0%	300	602	132	18,06	PLS	2.384	162.167	0,000	1.255	40,00	280.881
	50,0%	178	281	241	9,89	PLS	2.384	162.167	0,000	1.255	40,00	280.881
	75,0%	54	-41	269	8,86	PLS	2.384	162.167	0,000	1.255	40,00	280.881
Trave Acciaio 14a-20a	100,0 %	1.153	530	304	7,84	PLS	2.384	162.167	0,000	1.255	40,00	280.881
	0%	332	706	242	9,85	PLS	2.384	162.167	0,000	1.255	40,00	280.881
	25,0%	196	348	396	6,02	PLS	2.384	162.167	0,000	1.255	40,00	280.881
	50,0%	52	-30	441	5,40	PLS	2.384	162.167	0,000	1.255	40,00	280.881
	75,0%	-93	-410	379	6,29	PLS	2.384	162.167	0,000	1.255	40,00	280.881
Trave Acciaio 20a-25a	100,0 %	-225	-756	208	11,46	PLS	2.384	162.167	0,000	1.255	40,00	280.881
	0%	815	588	340	7,01	PLS	2.384	162.167	0,000	1.255	40,00	280.881
	25,0%	135	22	283	8,42	PLS	2.384	162.167	0,000	1.255	40,00	280.881
	50,0%	12	-307	251	9,50	PLS	2.384	162.167	0,000	1.255	40,00	280.881
	75,0%	700	588	185	12,88	PLS	2.384	162.167	0,000	1.255	40,00	280.881
Trave Acciaio 25a-32a	100%	664	588	359	6,64	PLS	2.384	162.167	0,000	1.255	40,00	280.881
	0%	251	-245	129	18,48	PLS	2.384	162.167	0,000	1.255	40,00	280.881
	25,0%	120	330	124	19,22	PLS	2.384	162.167	0,000	1.255	40,00	280.881
	50,0%	-18	-41	165	14,45	PLS	2.384	162.167	0,000	1.255	40,00	280.881
	75,0%	-162	-413	101	23,60	PLS	2.384	162.167	0,000	1.255	40,00	280.881

Travi (AC) - Verifiche a pressoflessione

Id _{Tr}	%L _{Lt}	N _{Ed}	V _{Ed}	M _{Ed,3}	CS	Tp Vr	M _{c,Rd}	V _{c,Rd}	ρ	A _v	t _w	N _{pl,Rd}
	[%]	[N]	[N]	[N·m]			[N·m]	[N]		[mm ²]	[mm]	[N]
Trave Acciaio 29a-36a	100%	-290	-245	144	16,55	PLS	2.384	162.167	0,000	1.255	40,00	280.881
	0%	186	202	98	24,32	PLS	2.384	162.167	0,000	1.255	40,00	280.881
	25,0%	144	331	120	19,86	PLS	2.384	162.167	0,000	1.255	40,00	280.881
	50,0%	5	-45	160	14,90	PLS	2.384	162.167	0,000	1.255	40,00	280.881
	75,0%	-139	-417	98	24,32	PLS	2.384	162.167	0,000	1.255	40,00	280.881
Trave Acciaio 24a-29a	100%	-277	200	128	18,62	PLS	2.384	162.167	0,000	1.255	40,00	280.881
	0%	817	755	372	6,41	PLS	2.384	162.167	0,000	1.255	40,00	280.881
	25,0%	104	42	279	8,54	PLS	2.384	162.167	0,000	1.255	40,00	280.881
	50,0%	-22	-296	247	9,65	PLS	2.384	162.167	0,000	1.255	40,00	280.881
	75,0%	700	755	195	12,22	PLS	2.384	162.167	0,000	1.255	40,00	280.881
Trave Acciaio 18a-24a	100,0%	664	755	384	6,21	PLS	2.384	162.167	0,000	1.255	40,00	280.881
	0%	291	712	233	10,23	PLS	2.384	162.167	0,000	1.255	40,00	280.881
	25,0%	155	356	389	6,13	PLS	2.384	162.167	0,000	1.255	40,00	280.881
	50,0%	10	-20	436	5,47	PLS	2.384	162.167	0,000	1.255	40,00	280.881
	75,0%	-133	-398	376	6,34	PLS	2.384	162.167	0,000	1.255	40,00	280.881
Trave Acciaio 13a-18a	100%	-265	-745	209	11,40	PLS	2.384	162.167	0,000	1.255	40,00	280.881
	0%	1.249	566	245	9,73	PLS	2.384	162.167	0,000	1.255	40,00	280.881
	25,0%	306	585	144	16,55	PLS	2.384	162.167	0,000	1.255	40,00	280.881
	50,0%	181	260	246	9,69	PLS	2.384	162.167	0,000	1.255	40,00	280.881
	75,0%	56	-68	271	8,80	PLS	2.384	162.167	0,000	1.255	40,00	280.881
Trave Acciaio 8a-13a	100%	1.101	566	316	7,54	PLS	2.384	162.167	0,000	1.255	40,00	280.881
	0%	498	434	278	8,57	PLS	2.384	162.167	0,000	1.255	40,00	280.881
	25,0%	455	434	151	15,79	PLS	2.384	162.167	0,000	1.255	40,00	280.881
	50,0%	152	11	172	13,86	PLS	2.384	162.167	0,000	1.255	40,00	280.881
	75,0%	-	425	122	19,54	PLS	2.384	162.167	0,000	1.255	40,00	280.881
100%	-130	425	245	9,73	PLS	2.384	162.167	0,000	1.255	40,00	280.881	

LEGENDA:

- Id_{Tr}** Identificativo della trave. L'eventuale lettera tra parentesi distingue i diversi tratti della travata al livello considerato.
- %L_{Lt}** Posizione della sezione per la quale vengono forniti i valori di verifica, valutata come % della lunghezza libera d'inflessione (L_{Lt}), a partire dall'estremo iniziale.
- N_{Ed}** Sforzo normale di progetto.
- V_{Ed}** Taglio di progetto utilizzato per il calcolo di ρ.
- M_{Ed,3}** Momento flettente di progetto intorno a 3.
- CS** Coefficiente di sicurezza ([NS] = Non Significativo se CS ≥ 100; [VNR]= Verifica Non Richiesta; Informazioni aggiuntive sulla condizione: [V] = statica; [E] = eccezionale; [S] = sismica; [N] = sismica non lineare).
- Tp Vr** Tipo di verifica considerata: "PLS" = con Modulo di resistenza plastico; "ELA" = con modulo di resistenza elastico; "EFF" = con modulo di resistenza efficace.
- M_{c,Rd}** Momento resistente.
- V_{c,Rd}** Taglio resistente.
- ρ** Coefficiente riduttivo per presenza di taglio.
- A_v** Area resistente a taglio.
- t_w** Spessore anima resistente a taglio.
- N_{pl,Rd}** Resistenza plastica a Sforzo Normale.

TRAVI (AC) - VERIFICHE A TAGLIO (Elevazione) per pressoflessione retta allo SLU

Id _{Tr}	%L _{Lt}	CS	A _v	τ _{T,Ed}	V _{Ed}	V _{c,Rd}	P. Vrf.
Piano Terra							
Trave Acciaio 5a-1	0%	49,52	453	10,80	1.084	53.684	-
	25,0%	41,97	907	7,47	-2.630	110.387	-
	50,0%	27,34	907	7,47	-4.038	110.387	-
	75,0%	20,28	907	7,47	-5.443	110.387	-
	99,9%	16,11	907	7,47	-6.851	110.387	-
Trave Acciaio 6a-2	0%	40,31	453	7,85	1.365	55.019	-
	25,1%	39,00	907	0,13	-3.001	117.034	-
	50,0%	22,16	907	0,13	-5.281	117.034	-
	75,0%	15,46	907	0,13	-7.569	117.034	-
	100,0%	11,89	907	0,13	-9.847	117.034	-
Trave Acciaio 7a-3	0%	48,56	453	11,28	-1.101	53.466	-
	25,0%	41,12	907	8,02	-2.672	109.881	-
	50,0%	26,91	907	8,02	-4.084	109.881	-
	75,0%	20,00	907	8,02	-5.495	109.881	-
	99,9%	15,91	907	8,02	-6.906	109.881	-
Trave Acciaio 33a-37a	0%	NS	907	0,00	27	117.156	-
	25,2%	NS	907	0,00	21	117.156	-
	50,0%	NS	907	0,00	13	117.156	-
	75,2%	NS	453	0,00	4	58.578	-
	99,9%	NS	453	0,00	4	58.578	-
Trave Acciaio 34a-38a	0%	NS	907	0,00	30	117.156	-
	25,1%	NS	907	0,00	22	117.156	-
	49,8%	NS	907	0,00	15	117.156	-
	75,0%	NS	907	0,00	10	117.156	-
	100%	NS	453	0,00	4	58.578	-
Trave Acciaio 35a-39a	0%	NS	907	0,00	31	117.156	-
	25,1%	NS	907	0,00	23	117.156	-
	50,2%	NS	907	0,00	16	117.156	-
	74,8%	NS	907	0,00	9	117.156	-
	99,9%	NS	453	0,00	4	58.578	-
Trave Acciaio 26a-4	0%	5,76	907	34,71	-14.888	85.682	-
	25,1%	5,71	907	34,71	-14.993	85.682	-
	49,9%	5,67	907	34,71	-15.115	85.682	-
	75,0%	5,62	907	34,71	-15.236	85.682	-
	100%	5,58	907	34,71	-15.352	85.682	-
Trave Acciaio 28a-6	0%	5,82	907	34,79	-14.701	85.613	-

Travi (AC) - Verifiche a taglio

Id _{Tr}	%L _{Lt} [%]	CS	A _v [mm ²]	τ _{T,Ed} [N/mm ²]	V _{Ed} [N]	V _{c,Rd} [N]	P. Vrf.
	25,0%	5,78	907	34,79	-14.803	85.613	-
	50,1%	5,74	907	34,79	-14.925	85.613	-
	75,1%	5,69	907	34,79	-15.050	85.613	-
	100%	5,64	907	34,79	-15.173	85.613	-
Trave Acciaio 23a-28a	0%	18,18	907	9,70	-5.960	108.363	-
	25,0%	13,96	907	9,70	-7.763	108.363	-
	50,0%	11,29	907	9,70	-9.597	108.363	-
	75,0%	9,49	907	9,70	-11.423	108.363	-
	100%	8,29	907	9,70	-13.077	108.363	-
Trave Acciaio 4-33a	0%	45,91	453	3,23	1.244	57.113	-
	25,0%	45,91	453	3,23	1.244	57.113	-
	50,1%	45,91	453	3,23	1.244	57.113	-
	75,0%	45,91	453	3,23	1.244	57.113	-
	100,0%	45,91	453	3,23	1.244	57.113	-
Trave Acciaio 32a-33a	0%	NS	1.255	0,16	-806	162.086	-
	25,0%	NS	1.255	0,16	-848	162.086	-
	50,0%	NS	1.255	0,16	-896	162.086	-
	75,0%	NS	1.255	0,16	-941	162.086	-
	100%	NS	1.255	0,16	-988	162.086	-
Trave Acciaio 5-34a	0%	NS	907	0,04	703	117.121	-
	25,0%	NS	907	0,04	678	117.121	-
	50,0%	NS	907	0,04	653	117.121	-
	75,0%	NS	907	0,04	629	117.121	-
	100%	NS	907	0,04	604	117.121	-
Trave Acciaio 35a-36a	0%	NS	1.255	0,17	985	162.083	-
	25,0%	NS	1.255	0,17	938	162.083	-
	50,0%	NS	1.255	0,17	893	162.083	-
	75,0%	NS	1.255	0,17	846	162.083	-
	100%	NS	1.255	0,17	802	162.083	-
Trave Acciaio 27a-5	0%	6,18	907	0,50	-18.873	116.703	-
	25,0%	6,18	907	0,50	-18.885	116.703	-
	50,0%	6,18	907	0,50	-18.898	116.703	-
	75,0%	6,17	907	0,50	-18.909	116.703	-
	100,0%	6,17	907	0,50	-18.921	116.703	-
Trave Acciaio 21a-22a	0%	NS	1.255	0,00	656	162.167	-
	25,0%	NS	1.255	0,00	380	162.167	-
	50,0%	NS	1.255	0,00	118	162.167	-
	75,0%	NS	1.255	0,00	-182	162.167	-
	100,0%	NS	1.255	0,00	-459	162.167	-
Trave Acciaio 16a-22a	0%	15,35	907	0,33	7.612	116.860	-
	25,0%	27,27	907	0,33	4.286	116.860	-
	50,0%	NS	907	0,33	951	116.860	-
	75,0%	45,07	907	0,23	-2.595	116.947	-
	100%	20,19	907	0,23	-5.792	116.947	-
Trave Acciaio 7a-8a	0%	NS	1.255	0,17	1.066	162.080	-
	25,0%	NS	1.255	0,17	1.024	162.080	-
	50,0%	NS	1.255	0,17	973	162.080	-
	75,0%	NS	1.255	0,17	923	162.080	-
	100%	NS	1.255	0,17	874	162.080	-
Trave Acciaio 2a-5a	0%	NS	453	0,00	7	58.578	-
	24,9%	NS	453	0,00	7	58.578	-
	49,9%	NS	907	0,00	-18	117.156	-
	75,2%	NS	907	0,00	-26	117.156	-
	100%	NS	907	0,00	-35	117.156	-
Trave Acciaio 1a-6a	0%	NS	453	0,00	8	58.578	-
	25,1%	NS	453	0,00	8	58.578	-
	49,9%	NS	907	0,00	-18	117.156	-
	75,1%	NS	907	0,00	-27	117.156	-
	99,8%	NS	907	0,00	-36	117.156	-
Trave Acciaio 3a-7a	0%	NS	453	0,00	7	58.578	-
	24,9%	NS	453	0,00	7	58.578	-
	49,9%	NS	907	0,00	-18	117.156	-
	75,2%	NS	907	0,00	-26	117.156	-
	100%	NS	907	0,00	-35	117.156	-
Trave Acciaio 6-35a	0%	45,24	453	2,98	-1.265	57.226	-
	25,0%	45,24	453	2,98	-1.265	57.226	-
	50,0%	45,24	453	2,98	-1.265	57.226	-
	75,0%	45,24	453	2,98	-1.265	57.226	-
	100%	45,24	453	2,98	-1.265	57.226	-
Trave Acciaio 17a-23a	0%	26,72	907	2,56	4.298	114.836	-
	25,0%	48,87	907	2,56	2.350	114.836	-
	50,0%	90,89	907	1,81	1.271	115.516	-
	75,0%	55,97	907	0,25	-2.089	116.929	-
	100%	29,47	907	0,25	-3.968	116.929	-
Trave Acciaio 21a-26a	0%	17,56	907	9,22	-6.195	108.799	-
	25,0%	13,75	907	9,22	-7.911	108.799	-
	50,0%	11,15	907	9,22	-9.754	108.799	-
	75,0%	9,38	907	9,22	-11.594	108.799	-
	100,0%	8,22	907	9,22	-13.240	108.799	-
Trave Acciaio 15a-21a	0%	28,24	907	2,33	4.074	115.045	-
	25,0%	54,14	907	2,33	2.125	115.045	-
	50,0%	94,05	907	1,83	-1.228	115.499	-
	75,0%	50,72	907	0,15	-2.307	117.017	-
	100%	27,71	907	0,15	-4.223	117.017	-
Trave Acciaio 14a-15a	0%	NS	1.255	0,00	-1.152	162.165	-
	25,0%	NS	1.255	0,00	-1.212	162.165	-

Travi (AC) - Verifiche a taglio

Id _{Tr}	%L _{Lt}	CS	A _v	τ _{T,Ed}	V _{Ed}	V _{c,Rd}	P. Vrf.
	[%]		[mm ²]	[N/mm ²]	[N]	[N]	
	50,0%	NS	1.255	0,00	-1.280	162.165	-
	75,0%	NS	1.255	0,00	-1.343	162.165	-
	100%	NS	1.255	0,00	-1.407	162.165	-
Trave Acciaio 28a-29a	0%	84,31	1.255	0,07	1.923	162.134	-
	25,0%	86,80	1.255	0,07	1.868	162.134	-
	50,0%	89,53	1.255	0,07	1.811	162.134	-
	75,0%	92,60	1.255	0,07	1.751	162.134	-
	100%	95,71	1.255	0,07	1.694	162.134	-
Trave Acciaio 23a-24a	0%	NS	1.255	0,00	1.471	162.167	-
	25,0%	NS	1.255	0,00	1.413	162.167	-
	50,0%	NS	1.255	0,00	1.350	162.167	-
	75,0%	NS	1.255	0,00	1.288	162.167	-
	100,0%	NS	1.255	0,00	1.228	162.167	-
Trave Acciaio 17a-18a	0%	NS	1.255	0,00	1.425	162.165	-
	25,0%	NS	1.255	0,00	1.365	162.165	-
	50,0%	NS	1.255	0,00	1.297	162.165	-
	75,0%	NS	1.255	0,00	1.237	162.165	-
	100,0%	NS	1.255	0,00	1.175	162.165	-
Trave Acciaio 12a-13a	0%	83,36	1.255	0,05	1.945	162.143	-
	25,0%	85,88	1.255	0,05	1.888	162.143	-
	50,0%	89,04	1.255	0,05	1.821	162.143	-
	75,0%	92,02	1.255	0,05	1.762	162.143	-
	100%	95,32	1.255	0,05	1.701	162.143	-
Trave Acciaio 11a-16a	0%	5,94	907	0,04	19.724	117.121	-
	25,0%	6,89	907	0,04	17.008	117.121	-
	50,0%	8,33	907	0,04	14.059	117.121	-
	75,0%	10,54	907	0,04	11.115	117.121	-
	100,0%	13,90	907	0,04	8.424	117.121	-
Trave Acciaio 10a-15a	0%	8,58	907	9,06	12.697	108.939	-
	25,0%	9,86	907	9,06	11.054	108.939	-
	50,0%	11,76	907	9,06	9.263	108.939	-
	75,0%	14,57	907	9,06	7.476	108.939	-
	100,0%	18,65	907	9,06	5.840	108.939	-
Trave Acciaio 12a-17a	0%	8,36	907	9,51	12.982	108.538	-
	25,0%	9,57	907	9,51	11.339	108.538	-
	50,0%	11,37	907	9,51	9.542	108.538	-
	75,0%	14,00	907	9,51	7.751	108.538	-
	100%	17,77	907	9,51	6.107	108.538	-
Trave Acciaio 2-11a	0%	4,72	907	0,10	24.797	117.069	-
	25,0%	4,95	907	0,10	23.655	117.069	-
	50,0%	5,20	907	0,10	22.511	117.069	-
	74,9%	5,48	907	0,10	21.370	117.069	-
	99,9%	5,68	907	0,10	20.612	117.069	-
Trave Acciaio 1-10a	0%	4,97	907	38,93	16.481	81.862	-
	24,9%	5,13	907	38,93	15.952	81.862	-
	50,0%	5,35	907	38,93	15.290	81.862	-
	74,9%	5,60	907	38,93	14.627	81.862	-
	100%	5,80	907	38,93	14.114	81.862	-
Trave Acciaio 3-12a	0%	4,83	907	39,24	16.878	81.583	-
	24,9%	5,03	907	39,24	16.214	81.583	-
	50,0%	5,25	907	39,24	15.546	81.583	-
	74,9%	5,48	907	39,24	14.885	81.583	-
	100%	5,68	907	39,24	14.372	81.583	-
Trave Acciaio 4a-5a	0%	NS	1.255	0,18	-852	162.075	-
	25,0%	NS	1.255	0,18	-903	162.075	-
	50,0%	NS	1.255	0,18	-953	162.075	-
	75,0%	NS	1.255	0,18	-997	162.075	-
	100%	NS	1.255	0,18	-1.043	162.075	-
Trave Acciaio 5a-6a	0%	NS	1.255	0,01	482	162.164	-
	25,0%	NS	1.255	0,01	268	162.164	-
	50,0%	NS	1.255	0,00	99	162.165	-
	75,0%	NS	1.255	0,00	-210	162.165	-
	100%	NS	1.255	0,01	-375	162.164	-
Trave Acciaio 6a-7a	0%	NS	1.255	0,01	369	162.161	-
	25,0%	NS	1.255	0,02	205	162.159	-
	50,0%	NS	1.255	0,02	-99	162.159	-
	75,0%	NS	1.255	0,01	-276	162.161	-
	100,0%	NS	1.255	0,01	-489	162.161	-
Trave Acciaio 33a-34a	0%	NS	1.255	0,00	363	162.165	-
	25,0%	NS	1.255	0,00	206	162.165	-
	50,0%	NS	1.255	0,00	50	162.165	-
	75,0%	NS	1.255	0,00	-149	162.167	-
	100,0%	NS	1.255	0,00	-305	162.167	-
Trave Acciaio 34a-35a	0%	NS	1.255	0,00	305	162.165	-
	25,0%	NS	1.255	0,00	148	162.165	-
	50,0%	NS	1.255	0,01	-50	162.163	-
	75,0%	NS	1.255	0,01	-207	162.163	-
	100%	NS	1.255	0,01	-363	162.163	-
Trave Acciaio 25a-26a	0%	97,38	1.255	0,06	-1.665	162.135	-
	25,0%	94,10	1.255	0,06	-1.723	162.135	-
	50,0%	90,88	1.255	0,06	-1.784	162.135	-
	75,0%	87,78	1.255	0,06	-1.847	162.135	-
	100,0%	85,20	1.255	0,06	-1.903	162.135	-
Trave Acciaio 27a-28a	0%	NS	1.255	0,01	365	162.161	-
	25,0%	NS	1.255	0,00	152	162.165	-
	50,0%	NS	1.255	0,00	-75	162.165	-

Travi (AC) - Verifiche a taglio

Id _{Tr}	%L _{Lt}	CS	A _v	τ _{T,Ed}	V _{Ed}	V _{c,Rd}	P. Vrf.
	[%]		[mm ²]	[N/mm ²]	[N]	[N]	
Trave Acciaio 22a-23a	75,0%	NS	1.255	0,01	-287	162.163	-
	100,0%	NS	1.255	0,01	-502	162.163	-
	0%	NS	1.255	0,01	452	162.164	-
	25,0%	NS	1.255	0,01	175	162.164	-
	50,0%	NS	1.255	0,01	-128	162.164	-
	75,0%	NS	1.255	0,01	-386	162.164	-
Trave Acciaio 20a-21a	100%	NS	1.255	0,01	-661	162.164	-
	0%	NS	1.255	0,01	-1.211	162.163	-
	25,0%	NS	1.255	0,01	-1.269	162.163	-
	50,0%	NS	1.255	0,01	-1.335	162.163	-
	75,0%	NS	1.255	0,01	-1.394	162.163	-
	100,0%	NS	1.255	0,01	-1.459	162.163	-
Trave Acciaio 15a-16a	0%	NS	1.255	0,01	642	162.164	-
	25,0%	NS	1.255	0,01	371	162.164	-
	50,0%	NS	1.255	0,01	129	162.164	-
	75,0%	NS	1.255	0,00	360	162.167	-
	100,0%	NS	1.255	0,00	637	162.167	-
	0%	NS	1.255	0,00	-638	162.167	-
Trave Acciaio 16a-17a	25,0%	NS	1.255	0,00	-362	162.167	-
	50,0%	NS	1.255	0,01	-135	162.164	-
	75,0%	NS	1.255	0,01	-378	162.164	-
	100,0%	NS	1.255	0,01	-650	162.164	-
	0%	NS	1.255	0,00	605	162.167	-
	25,0%	NS	1.255	0,00	334	162.167	-
Trave Acciaio 10a-11a	50,0%	NS	1.255	0,00	114	162.165	-
	75,0%	NS	1.255	0,00	332	162.167	-
	100,0%	NS	1.255	0,00	606	162.167	-
	0%	NS	1.255	0,00	-607	162.167	-
	25,0%	NS	1.255	0,00	-334	162.167	-
	50,0%	NS	1.255	0,00	-119	162.165	-
Trave Acciaio 11a-12a	75,0%	NS	1.255	0,00	-340	162.167	-
	100,0%	NS	1.255	0,00	-610	162.167	-
	0%	94,71	1.255	0,03	-1.712	162.151	-
	25,0%	91,56	1.255	0,03	-1.771	162.151	-
	50,0%	88,08	1.255	0,03	-1.841	162.151	-
	75,0%	85,25	1.255	0,03	-1.902	162.151	-
Trave Acciaio 9a-10a	100%	82,52	1.255	0,03	-1.965	162.151	-
	0%	NS	1.255	0,01	503	162.163	-
	25,0%	NS	1.255	0,01	287	162.163	-
	50,0%	NS	1.255	0,00	77	162.165	-
	75,0%	NS	1.255	0,01	-153	162.160	-
	100%	NS	1.255	0,01	-368	162.161	-
Trave Acciaio 26a-27a	0%	17,99	907	0,40	-6.493	116.790	-
	25,0%	12,65	907	0,40	-9.235	116.790	-
	50,0%	9,52	907	0,40	-12.264	116.790	-
	75,0%	7,63	907	0,40	-15.299	116.790	-
	100%	6,42	907	0,40	-18.191	116.790	-
	0%	NS	1.255	0,16	741	162.088	-
Trave Acciaio 4a-9a	25,0%	NS	1.255	0,06	-439	162.135	-
	50,0%	NS	1.255	0,06	-439	162.135	-
	75,0%	NS	1.255	0,06	-439	162.135	-
	100%	NS	1.255	0,16	-730	162.088	-
	0%	NS	1.255	0,02	903	162.158	-
	25,0%	NS	1.255	0,02	602	162.158	-
Trave Acciaio 9a-14a	50,0%	NS	1.255	0,03	-576	162.152	-
	75,0%	NS	1.255	0,03	-576	162.152	-
	100,0%	NS	1.255	0,03	-576	162.152	-
	0%	NS	1.255	0,00	723	162.167	-
	25,0%	NS	1.255	0,00	362	162.167	-
	50,0%	NS	1.255	0,01	-270	162.161	-
Trave Acciaio 14a-20a	75,0%	NS	1.255	0,01	-410	162.161	-
	100,0%	NS	1.255	0,01	-756	162.161	-
	0%	NS	1.255	0,02	-708	162.155	-
	25,0%	NS	1.255	0,02	-708	162.155	-
	50,0%	NS	1.255	0,02	-708	162.155	-
	75,0%	NS	1.255	0,02	-708	162.155	-
Trave Acciaio 20a-25a	100%	NS	1.255	0,00	-931	162.165	-
	0%	NS	1.255	0,16	676	162.088	-
	25,0%	NS	1.255	0,16	330	162.088	-
	50,0%	NS	1.255	0,16	-245	162.088	-
	75,0%	NS	1.255	0,16	-413	162.088	-
	100%	NS	1.255	0,16	-755	162.088	-
Trave Acciaio 25a-32a	0%	NS	1.255	0,16	679	162.088	-
	25,0%	NS	1.255	0,16	331	162.088	-
	50,0%	NS	1.255	0,08	202	162.127	-
	75,0%	NS	1.255	0,16	-417	162.088	-
	100%	NS	1.255	0,16	-759	162.088	-
	0%	NS	1.255	0,03	755	162.152	-
Trave Acciaio 29a-36a	25,0%	NS	1.255	0,03	755	162.152	-
	50,0%	NS	1.255	0,03	755	162.152	-
	75,0%	NS	1.255	0,03	755	162.152	-
	100,0%	NS	1.255	0,01	-937	162.164	-
	0%	NS	1.255	0,01	732	162.164	-
	25,0%	NS	1.255	0,01	373	162.164	-
Trave Acciaio 18a-24a	50,0%	NS	1.255	0,03	207	162.154	-
	75,0%	NS	1.255	0,02	-398	162.159	-

Travi (AC) - Verifiche a taglio

Id _{Tr}	%L _{LI}	CS	A _v	τ _{T,Ed}	V _{Ed}	V _{c,Rd}	P. Vrf.
	[%]						
Trave Acciaio 13a-18a	100%	NS	1.255	0,02	-745	162.159	-
	0%	NS	1.255	0,02	886	162.158	-
	25,0%	NS	1.255	0,02	585	162.158	-
	50,0%	NS	1.255	0,03	566	162.151	-
	75,0%	NS	1.255	0,03	566	162.151	-
Trave Acciaio 8a-13a	100%	NS	1.255	0,03	566	162.151	-
	0%	NS	1.255	0,15	767	162.091	-
	25,0%	NS	1.255	0,06	434	162.137	-
	50,0%	NS	1.255	0,06	434	162.137	-
	75,0%	NS	1.255	0,06	434	162.137	-
	100%	NS	1.255	0,15	-730	162.091	-

LEGENDA:

Id_{Tr} Identificativo della trave. L'eventuale lettera tra parentesi distingue i diversi tratti della travata al livello considerato.

%L_{LI} Posizione della sezione per la quale vengono forniti i valori di verifica, valutata come % della lunghezza libera d'inflessione (L_{LI}), a partire dall'estremo iniziale.

CS Coefficiente di sicurezza ([NS] = Non Significativo se CS ≥ 100; [VNR]= Verifica Non Richiesta; Informazioni aggiuntive sulla condizione: [V] = statica; [E] = eccezionale; [S] = sismica; [N] = sismica non lineare).

A_v Area resistente a taglio.

τ_{T,Ed} Tensione tangenziale di calcolo per torsione.

V_{Ed} Taglio di progetto.

V_{c,Rd} Taglio resistente.

P. Vrf. Piano di minima resistenza.

TRAVI (AC) - VERIFICHE INSTABILITÀ A COMPRESSIONE (Elevazione)

Id _{Tr}	N _{Ed}	CS	L _{LI}	λ	α	φ	χ _{LT}	P. Vrf.	N _{cr}	N _{b,Rd}
Piano Terra										
Trave Acciaio 19a-5	0	VNR	2,56	1,124	0,490	1,359	0,471	Piano XX	457.270	259559
Trave Acciaio 19a-5	0	VNR	2,98	1,311	0,490	1,631	0,384	Piano XX	336.386	211547
Trave Acciaio 2-19a	994	VNR	1,61	0,706	0,490	0,874	0,721	Piano XX	1.158.275	396785
Trave Acciaio 2-19a	0	VNR	1,35	0,593	0,490	0,772	0,790	Piano XX	1.646.146	434818
Trave Acciaio 5-30a	528	VNR	2,82	1,238	0,490	1,521	0,416	Piano XX	377.137	229037
Trave Acciaio 30a-6	212	VNR	2,82	1,241	0,490	1,525	0,415	Piano XX	375.454	228342
Trave Acciaio 31a-5	502	VNR	2,81	1,235	0,490	1,517	0,417	Piano XX	378.890	229757
Trave Acciaio 31a-5	264	VNR	2,78	2,907	0,490	5,388	0,101	Piano XX	34.905	28302
Trave Acciaio 4-31a	174	VNR	2,83	1,244	0,490	1,530	0,413	Piano XX	373.574	227563
Trave Acciaio 30a-5	290	VNR	2,79	2,916	0,490	5,417	0,100	Piano XX	34.687	28141

LEGENDA:

Id_{Tr} Identificativo della trave. L'eventuale lettera tra parentesi distingue i diversi tratti della travata al livello considerato.

N_{Ed} Sforzo normale di progetto.

CS Coefficiente di sicurezza ([NS] = Non Significativo se CS ≥ 100; [VNR]= Verifica Non Richiesta; Informazioni aggiuntive sulla condizione: [V] = statica; [E] = eccezionale; [S] = sismica; [N] = sismica non lineare).

L_{LI} Lunghezza libera d'inflessione.

λ Coefficiente di snellezza adimensionale.

α Fattore di imperfezione.

φ Coefficiente φ (per il calcolo di χ).

χ_{LT} Coefficiente di riduzione ai fini dell'instabilità flessotorsionale.

P. Vrf. Piano di minima resistenza.

N_{cr} Sforzo Normale Critico Euleriano.

N_{b,Rd} Resistenza all'instabilità per compressione.

TRAVI - VERIFICA DI SNELLEZZA (Elevazione)

Id	P/S	L ₀	i	λ ₀	Travi - VERIFICA DI SNELLEZZA	
					λ _{0,lim}	CS
		[mm]	[mm]			
Piano Terra						
Trave Acciaio 5a-1	P	780	24,73	32	200	6,25
Trave Acciaio 6a-2	P	770	24,73	31	200	VNR
Trave Acciaio 7a-3	P	780	24,73	32	200	6,25
Trave Acciaio 33a-37a	P	210	24,73	8	200	25,00
Trave Acciaio 34a-38a	P	231	24,73	9	200	22,22
Trave Acciaio 35a-39a	P	243	24,73	10	200	20,00
Trave Acciaio 26a-4	P	355	24,73	14	200	VNR
Trave Acciaio 28a-6	P	364	24,73	15	200	VNR
Trave Acciaio 23a-28a	P	992	24,73	40	200	5,00
Trave Acciaio 4-33a	P	757	24,73	31	200	6,45
Trave Acciaio 32a-33a	P	998	10,18	98	200	2,04
Trave Acciaio 5-34a	P	760	24,73	31	200	6,45
Trave Acciaio 35a-36a	P	1.001	10,18	98	200	2,04
Trave Acciaio 27a-5	P	368	24,73	15	200	13,33
Trave Acciaio 21a-22a	P	4.870	10,18	479	200	VNR
Trave Acciaio 16a-22a	P	1.122	24,73	45	200	4,44
Trave Acciaio 7a-8a	P	1.020	10,18	100	200	2,00
Trave Acciaio 2a-5a	P	273	24,73	11	200	VNR
Trave Acciaio 1a-6a	P	282	24,73	11	200	VNR
Trave Acciaio 3a-7a	P	273	24,73	11	200	VNR
Trave Acciaio 6-35a	P	748	24,73	30	200	6,67
Trave Acciaio 17a-23a	P	1.146	24,73	46	200	4,35
Trave Acciaio 21a-26a	P	999	24,73	40	200	5,00
Trave Acciaio 15a-21a	P	1.147	24,73	46	200	4,35
Trave Acciaio 14a-15a	P	1.000	10,18	98	200	2,04
Trave Acciaio 28a-29a	P	1.005	10,18	99	200	2,02

Travi - VERIFICA DI SNELLEZZA							
Id	P/S	Lo	i	λ_0	$\lambda_{0,lim}$	CS	
		[mm]	[mm]				
Trave Acciaio 23a-24a	P	1.008	10,18	99	200	2,02	
Trave Acciaio 17a-18a	P	1.012	10,18	99	200	2,02	
Trave Acciaio 12a-13a	P	1.016	10,18	100	200	2,00	
Trave Acciaio 11a-16a	P	971	24,73	39	200	5,13	
Trave Acciaio 10a-15a	P	971	24,73	39	200	5,13	
Trave Acciaio 12a-17a	P	971	24,73	39	200	5,13	
Trave Acciaio 2-11a	P	376	24,73	15	200	13,33	
Trave Acciaio 1-10a	P	366	24,73	15	200	13,33	
Trave Acciaio 3-12a	P	366	24,73	15	200	13,33	
Trave Acciaio 4a-5a	P	1.000	10,18	98	200	2,04	
Trave Acciaio 9a-10a	P	1.001	10,18	98	200	2,04	
Trave Acciaio 19a-5	P	2.559	40,58	106	200	1,89	
Trave Acciaio 19a-5	P	2.984	40,58	123	200	1,63	
Trave Acciaio 2-19a	P	1.608	40,58	66	200	3,03	
Trave Acciaio 2-19a	P	1.349	40,58	56	200	3,57	
Trave Acciaio 5-30a	S	2.818	40,58	116	200	1,72	
Trave Acciaio 30a-6	P	2.824	40,58	117	200	1,71	
Trave Acciaio 22a-27a	P	996	24,73	40	200	5,00	
Trave Acciaio 31a-5	S	2.811	40,58	116	250	2,16	
Trave Acciaio 4a-9a	P	1.147	10,18	113	200	1,77	
Trave Acciaio 9a-14a	P	972	10,18	96	200	2,08	
Trave Acciaio 14a-20a	P	1.142	10,18	112	200	1,79	
Trave Acciaio 20a-25a	P	994	10,18	98	200	2,04	
Trave Acciaio 25a-32a	P	1.112	10,18	109	200	1,83	
Trave Acciaio 29a-36a	P	1.112	10,18	109	200	1,83	
Trave Acciaio 24a-29a	P	1.007	10,18	99	200	2,02	
Trave Acciaio 18a-24a	P	1.132	10,18	111	200	1,80	
Trave Acciaio 13a-18a	P	969	10,18	95	200	2,11	
Trave Acciaio 8a-13a	P	1.147	10,18	113	200	1,77	
Trave Acciaio 4-31a	S	2.831	40,58	117	200	1,71	

LEGENDA:

- Id** Identificativo dell'elemento.
- P/S** Tipologia trave acciaio: Principale (P) o Secondaria (S)
- Lo** Lunghezza di inflessione
- i** Raggio d'inerzia
- λ_0** Snellezza
- $\lambda_{0,lim}$** Snellezza limite
- CS** Coefficiente di sicurezza ([NS] = Non Significativo per valori di CS >= 100; [VNR]= Verifica Non Richiesta).

TRAVI (AC) - VERIFICHE INSTABILITÀ A PRESSOFLESSIONE DEVIATA (Elevazione)

Travi (AC) - Verifiche instabilità a pressoflessione deviata																
Id _{Tr}	N _{eq,Ed}	M _{eq,Ed,3}	M _{eq,Ed,2}	CS	P. Vrf.	L _{Cr}	Dir	L _N	λ_{LT}	α	ϕ	χ	β	k _c	χ_{LT}	N _{cr}
	[N]	[N-m]	[N-m]			[m]		[m]								[N]
Piano Terra																
Trave Acciaio 5a-1	77	901	175	9,75	Piano YY	0,78	x-x	0,78	0,119	0,210	0,518	1,000	1,000	0,910	1,000	2.828.069
							y-y	0,78	0,049	0,210	0,571	0,969	1,000	0,676	1,000	
Trave Acciaio 6a-2	-2.312	-	-	VNR	Piano XX	0,00	x-x	0,00	0,000	0,000	0,000	0,000	0,000	0,000	0,000	0
							y-y	0,00	0,000	0,000	0,000	0,000	0,000	0,000	0,000	
Trave Acciaio 7a-3	91	850	-198	9,86	Piano YY	0,78	x-x	0,78	0,119	0,210	0,518	1,000	1,000	0,910	1,000	2.828.079
							y-y	0,78	0,049	0,210	0,571	0,969	1,000	0,684	1,000	
Trave Acciaio 33a-37a	5	2	-	NS	Piano YY	0,21	x-x	0,21	0,070	0,210	0,486	1,000	1,000	1,000	1,000	39.008.95
							y-y	0,21	0,042	0,210	0,493	1,000	1,000	1,000	1,000	5
Trave Acciaio 34a-38a	6	3	-	NS	Piano YY	0,23	x-x	0,23	0,073	0,210	0,487	1,000	1,000	1,000	1,000	32.340.17
							y-y	0,23	0,044	0,210	0,494	1,000	1,000	1,000	1,000	0
Trave Acciaio 35a-39a	8	2	-	NS	Piano YY	0,24	x-x	0,24	0,075	0,210	0,487	1,000	1,000	1,000	1,000	29.103.72
							y-y	0,24	0,045	0,210	0,495	1,000	1,000	1,000	1,000	3
Trave Acciaio 26a-4	-1.746	-	-	VNR	Piano XX	0,00	x-x	0,00	0,000	0,000	0,000	0,000	0,000	0,000	0,000	0
							y-y	0,00	0,000	0,000	0,000	0,000	0,000	0,000	0,000	
Trave Acciaio 28a-6	-1.931	-	-	VNR	Piano XX	0,00	x-x	0,00	0,000	0,000	0,000	0,000	0,000	0,000	0,000	0
							y-y	0,00	0,000	0,000	0,000	0,000	0,000	0,000	0,000	
Trave Acciaio 23a-28a	715	-4.505	-21	2,54	Piano YY	0,99	x-x	0,99	0,134	0,210	0,535	0,990	1,000	0,910	1,000	1.751.267
							y-y	0,99	0,066	0,210	0,615	0,945	1,000	0,752	1,000	
Trave Acciaio 4-33a	666	946	-546	6,21	Piano YY	0,76	x-x	0,76	0,117	0,210	0,517	1,000	1,000	0,910	1,000	3.005.332
							y-y	0,76	0,058	0,210	0,566	0,971	1,000	0,758	1,000	
Trave Acciaio 32a-33a	84	264	-106	3,78	Piano YY	1,00	x-x	1,00	0,062	0,490	1,251	0,515	1,000	0,910	1,000	270.782
							y-y	1,00	0,047	0,490	1,251	0,515	1,000	0,728	1,000	
Trave Acciaio 5-34a	253	244	-93	28,48	Piano YY	0,76	x-x	0,76	0,117	0,210	0,517	1,000	1,000	0,940	1,000	2.982.771
							y-y	0,76	0,058	0,210	0,567	0,971	1,000	0,729	1,000	
Trave Acciaio 35a-36a	106	266	-95	3,87	Piano YY	1,00	x-x	1,00	0,056	0,490	1,255	0,513	1,000	0,770	1,000	269.107
							y-y	1,00	0,047	0,490	1,255	0,513	1,000	0,717	1,000	
Trave Acciaio 27a-5	9.008	8.515	-69	1,29	Piano YY	0,37	x-x	0,37	0,081	0,210	0,493	1,000	1,000	0,831	1,000	12.712.82
							y-y	0,37	0,052	0,210	0,508	1,000	1,000	0,911	1,000	2
Trave Acciaio 21a-22a	-492	-	-	VNR	Piano XX	0,00	x-x	0,00	0,000	0,000	0,000	0,000	0,000	0,000	0,000	0
							y-y	0,00	0,000	0,000	0,000	0,000	0,000	0,000	0,000	
Trave Acciaio 16a-22a	16.254	-9.328	48	1,14	Piano YY	1,12	x-x	1,12	0,143	0,210	0,547	0,982	1,000	0,940	1,000	1.368.867
							y-y	1,12	0,058	0,210	0,646	0,929	1,000	0,660	1,000	
Trave Acciaio 7a-8a	412	722	-189	2,59	Piano YY	1,02	x-x	1,02	0,082	0,490	1,282	0,502	1,000	0,910	1,000	259.032
							y-y	1,02	0,081	0,490	1,282	0,502	1,000	0,840	1,000	
Trave Acciaio 2a-5a	-10	-	-	VNR	Piano XX	0,00	x-x	0,00	0,000	0,000	0,000	0,000	0,000	0,000	0,000	0
							y-y	0,00	0,000	0,000	0,000	0,000	0,000	0,000	0,000	
Trave Acciaio 1a-6a	-10	-	-	VNR	Piano	0,00	x-x	0,00	0,000	0,000	0,000	0,000	0,000	0,000	0,000	0

Travi (AC) - Verifiche instabilità a pressoflessione deviata

Id _{Tr}	N _{eq,Ed}	M _{eq,Ed,3}	M _{eq,Ed,2}	CS	P. Vrf.	L _{Cr}	Dir	L _N	λ _{LT}	α	φ	χ	β	k _c	χ _{LT}	N _{Cr}
	[N]	[N-m]	[N-m]			[m]		[m]								[N]
					XX		y-y	0,00	0,000	0,000	0,000	0,000	0,000	0,000	0,000	
Trave Acciaio 3a-7a	-10	-	-	VNR	Piano XX	0,00	x-x	0,00	0,000	0,000	0,000	0,000	0,000	0,000	0,000	0
							y-y	0,00	0,000	0,000	0,000	0,000	0,000	0,000	0,000	
Trave Acciaio 6-35a	640	941	548	6,22	Piano YY	0,75	x-x	0,75	0,117	0,210	0,516	1,000	1,000	0,910	1,000	3.081.798
							y-y	0,75	0,057	0,210	0,565	0,972	1,000	0,757	1,000	
Trave Acciaio 17a-23a	4.277	-7.239	-47	1,54	Piano YY	1,15	x-x	1,15	0,144	0,210	0,550	0,981	1,000	0,940	1,000	1.311.608
							y-y	1,15	0,057	0,210	0,653	0,926	1,000	0,625	1,000	
Trave Acciaio 21a-26a	500	-4.598	29	2,49	Piano YY	1,00	x-x	1,00	0,135	0,210	0,536	0,989	1,000	0,910	1,000	1.724.184
							y-y	1,00	0,055	0,210	0,617	0,945	1,000	0,679	1,000	
Trave Acciaio 15a-21a	4.055	-7.487	61	1,49	Piano YY	1,15	x-x	1,15	0,144	0,210	0,550	0,981	1,000	0,940	1,000	1.309.179
							y-y	1,15	0,059	0,210	0,653	0,926	1,000	0,616	1,000	
Trave Acciaio 14a-15a	215	918	-195	1,26	Piano YY	1,00	x-x	1,00	0,062	0,490	1,254	0,514	1,000	0,910	1,000	269.501
							y-y	1,00	0,071	0,490	1,254	0,514	1,000	0,981	1,000	
Trave Acciaio 28a-29a	713	567	-188	1,84	Piano YY	1,00	x-x	1,00	0,062	0,490	1,261	0,511	1,000	0,910	1,000	266.920
							y-y	1,00	0,043	0,490	1,261	0,511	1,000	0,668	1,000	
Trave Acciaio 23a-24a	190	961	-207	1,20	Piano YY	1,01	x-x	1,01	0,063	0,490	1,266	0,509	1,000	0,910	1,000	264.971
							y-y	1,01	0,066	0,490	1,266	0,509	1,000	0,918	1,000	
Trave Acciaio 17a-18a	39	949	-200	1,22	Piano YY	1,01	x-x	1,01	0,063	0,490	1,271	0,506	1,000	0,910	1,000	262.932
							y-y	1,01	0,066	0,490	1,271	0,506	1,000	0,913	1,000	
Trave Acciaio 12a-13a	410	595	-207	1,74	Piano YY	1,02	x-x	1,02	0,063	0,490	1,276	0,504	1,000	0,910	1,000	261.148
							y-y	1,02	0,043	0,490	1,276	0,504	1,000	0,657	1,000	
Trave Acciaio 11a-16a	21.178	-5.244	-40	1,84	Piano YY	0,97	x-x	0,97	0,133	0,210	0,534	0,991	1,000	0,910	1,000	1.825.592
							y-y	0,97	0,065	0,210	0,610	0,948	1,000	0,752	1,000	
Trave Acciaio 10a-15a	7.496	-4.802	-140	2,16	Piano YY	0,97	x-x	0,97	0,133	0,210	0,534	0,991	1,000	0,910	1,000	1.825.592
							y-y	0,97	0,059	0,210	0,610	0,948	1,000	0,696	1,000	
Trave Acciaio 12a-17a	7.652	-4.521	146	2,27	Piano YY	0,97	x-x	0,97	0,133	0,210	0,534	0,991	1,000	0,910	1,000	1.828.530
							y-y	0,97	0,059	0,210	0,610	0,948	1,000	0,707	1,000	
Trave Acciaio 1-10a	9.829	7.054	-368	1,43	Piano YY	0,37	x-x	0,37	0,082	0,210	0,493	1,000	1,000	0,940	1,000	12.876.214
							y-y	0,37	0,040	0,210	0,508	1,000	1,000	0,770	1,000	
Trave Acciaio 3-12a	10.177	8.063	282	1,29	Piano YY	0,37	x-x	0,37	0,082	0,210	0,493	1,000	1,000	0,940	1,000	12.880.090
							y-y	0,37	0,040	0,210	0,508	1,000	1,000	0,771	1,000	
Trave Acciaio 4a-5a	422	689	-189	2,69	Piano YY	1,00	x-x	1,00	0,081	0,490	1,255	0,514	1,000	0,910	1,000	269.442
							y-y	1,00	0,080	0,490	1,255	0,514	1,000	0,833	1,000	
Trave Acciaio 5a-6a	329	362	-52	4,71	Piano YY	4,87	x-x	4,87	0,179	0,490	14,689	0,035	1,000	0,910	1,000	11.352
							y-y	4,87	0,122	0,490	14,689	0,035	1,000	0,613	1,000	
Trave Acciaio 6a-7a	269	366	-54	4,81	Piano YY	4,87	x-x	4,87	0,179	0,490	14,681	0,035	1,000	0,910	1,000	11.359
							y-y	4,87	0,122	0,490	14,681	0,035	1,000	0,616	1,000	
Trave Acciaio 33a-34a	891	310	-11	2,95	Piano YY	4,87	x-x	4,87	0,137	0,490	14,681	0,035	1,000	0,900	1,000	11.359
							y-y	4,87	0,114	0,490	14,681	0,035	1,000	0,752	1,000	
Trave Acciaio 34a-35a	968	313	-14	2,83	Piano YY	4,87	x-x	4,87	0,137	0,490	14,678	0,035	1,000	0,900	1,000	11.362
							y-y	4,87	0,114	0,490	14,678	0,035	1,000	0,752	1,000	
Trave Acciaio 27a-28a	1.811	210	-78	2,34	Piano YY	4,88	x-x	4,88	0,137	0,490	14,714	0,035	1,000	0,900	1,000	11.332
							y-y	4,88	0,094	0,490	14,714	0,035	1,000	0,615	1,000	
Trave Acciaio 22a-23a	13	544	-42	2,38	Piano YY	4,87	x-x	4,87	0,137	0,490	14,678	0,035	1,000	0,900	1,000	11.362
							y-y	4,87	0,095	0,490	14,678	0,035	1,000	0,681	1,000	
Trave Acciaio 20a-21a	216	450	-176	2,23	Piano YY	1,00	x-x	1,00	0,062	0,490	1,253	0,514	1,000	0,910	1,000	269.966
							y-y	1,00	0,043	0,490	1,253	0,514	1,000	0,652	1,000	
Trave Acciaio 15a-16a	983	-426	236	1,62	Piano YY	4,87	x-x	4,87	0,137	0,490	14,681	0,035	1,000	0,910	1,000	11.359
							y-y	4,87	0,137	0,490	14,681	0,035	1,000	0,900	1,000	
Trave Acciaio 16a-17a	718	-428	241	1,72	Piano YY	4,87	x-x	4,87	0,137	0,490	14,680	0,035	1,000	0,910	1,000	11.360
							y-y	4,87	0,137	0,490	14,680	0,035	1,000	0,900	1,000	
Trave Acciaio 10a-11a	-2.373	-	-	VNR	Piano XX	0,00	x-x	0,00	0,000	0,000	0,000	0,000	0,000	0,000	0,000	0
							y-y	0,00	0,000	0,000	0,000	0,000	0,000	0,000	0,000	
Trave Acciaio 11a-12a	109	406	-30	3,08	Piano YY	4,87	x-x	4,87	0,137	0,490	14,681	0,035	1,000	0,910	1,000	11.359
							y-y	4,87	0,091	0,490	14,681	0,035	1,000	0,639	1,000	
Trave Acciaio 9a-10a	384	572	-216	1,77	Piano YY	1,00	x-x	1,00	0,062	0,490	1,255	0,513	1,000	0,910	1,000	269.108
							y-y	1,00	0,043	0,490	1,255	0,513	1,000	0,658	1,000	
Trave Acciaio 26a-27a	2.123	212	-76	2,14	Piano YY	4,86	x-x	4,86	0,137	0,490	14,645	0,035	1,000	0,900	1,000	11.389
							y-y	4,86	0,094	0,490	14,645	0,035	1,000	0,609	1,000	
Trave Acciaio 22a-27a	11.387	-5.905	44	1,78	Piano YY	1,00	x-x	1,00	0,134	0,210	0,536	0,989	1,000	0,910	1,000	1.737.119
							y-y	1,00	0,055	0,210	0,616	0,945	1,000	0,668	1,000	

Travi (AC) - Verifiche instabilità a pressoflessione deviata

Id _{Tr}	N _{eq,Ed}	M _{eq,Ed,3}	M _{eq,Ed,2}	CS	P. Vrf.	L _{Cr}	Dir	L _N	λ _{LT}	α	φ	χ	β	k _c	χ _{LT}	N _{Cr}
	[N]	[N-m]	[N-m]													
Trave Acciaio 4a-9a	166	-115	94	11,22	Piano YY	1,15	x-x	1,15	0,087	0,490	1,464	0,434	1,000	0,900	1,000	204.978
							y-y	1,15	0,059	0,490	1,464	0,434	1,000	0,603	1,000	
Trave Acciaio 9a-14a	183	-211	-17	10,32	Piano YY	0,97	x-x	0,97	0,080	0,490	1,217	0,530	1,000	0,910	1,000	285.093
							y-y	0,97	0,055	0,490	1,217	0,530	1,000	0,687	1,000	
Trave Acciaio 14a-20a	54	-433	-62	4,80	Piano YY	1,14	x-x	1,14	0,087	0,490	1,458	0,436	1,000	0,940	1,000	206.534
							y-y	1,14	0,059	0,490	1,458	0,436	1,000	0,605	1,000	
Trave Acciaio 20a-25a	11	-218	-36	9,38	Piano YY	0,99	x-x	0,99	0,081	0,490	1,246	0,517	1,000	0,910	1,000	272.832
							y-y	0,99	0,054	0,490	1,246	0,517	1,000	0,623	1,000	
Trave Acciaio 25a-32a	62	-48	-51	23,79	Piano YY	1,11	x-x	1,11	0,086	0,490	1,412	0,452	1,000	0,910	1,000	218.002
							y-y	1,11	0,057	0,490	1,412	0,452	1,000	0,629	1,000	
Trave Acciaio 29a-36a	4	-120	51	13,94	Piano YY	1,11	x-x	1,11	0,086	0,490	1,412	0,452	1,000	0,900	1,000	217.998
							y-y	1,11	0,057	0,490	1,412	0,452	1,000	0,636	1,000	
Trave Acciaio 24a-29a	740	-69	154	10,10	Piano YY	1,01	x-x	1,01	0,081	0,490	1,265	0,509	1,000	0,940	1,000	265.468
							y-y	1,01	0,056	0,490	1,265	0,509	1,000	0,606	1,000	
Trave Acciaio 18a-24a	13	-428	-36	5,13	Piano YY	1,13	x-x	1,13	0,086	0,490	1,442	0,441	1,000	0,940	1,000	210.370
							y-y	1,13	0,057	0,490	1,442	0,441	1,000	0,626	1,000	
Trave Acciaio 13a-18a	186	-218	30	9,49	Piano YY	0,97	x-x	0,97	0,080	0,490	1,213	0,532	1,000	0,910	1,000	286.980
							y-y	0,97	0,055	0,490	1,213	0,532	1,000	0,684	1,000	
Trave Acciaio 8a-13a	156	-129	-96	10,45	Piano YY	1,15	x-x	1,15	0,087	0,490	1,464	0,434	1,000	0,900	1,000	204.977
							y-y	1,15	0,059	0,490	1,464	0,434	1,000	0,605	1,000	

LEGENDA:

- Id_{Tr}** Identificativo della trave. L'eventuale lettera tra parentesi distingue i diversi tratti della travata al livello considerato.
- N_{eq,Ed}** Sforzo Normale equivalente di progetto.
- M_{eq,Ed,3}** Momento equivalente di progetto intorno a 3.
- M_{eq,Ed,2}** Momento equivalente di progetto intorno a 2.
- CS** Coefficiente di sicurezza ([NS] = Non Significativo se CS ≥ 100; [VNR]= Verifica Non Richiesta; Informazioni aggiuntive sulla condizione: [V] = statica; [E] = eccezionale; [S] = sismica; [N] = sismica non lineare).
- P. Vrf.** Piano di minima resistenza.
- L_{Cr}** Lunghezza di libera inflessione laterale, misurata tra due ritegni torsionali successivi.
- L_N** Luce libera di inflessione.
- λ_{LT}** Coefficiente di snellezza normalizzata (per il calcolo di φ_{LT}).
- α** Fattore di imperfezione.
- φ** Coefficiente per il calcolo di χ
- χ** Coefficiente di riduzione per instabilità a compressione
- β** Coefficiente di riduzione della luce libera di inflessione.
- k_c** Coefficiente per il calcolo di χ_{LT}
- χ_{LT}** Coefficiente di riduzione ai fini dell'instabilità flessotorsionale.
- N_{Cr}** Sforzo Normale Critico Euleriano.

TRAVI (AC) - VERIFICHE DI DEFORMABILITÀ ALLO SLE (Elevazione)

Travi (AC) - Verifiche di deformabilità allo SLE

Id _{Tr}	Carichi Permanenti + Variabili			Carichi Variabili		
	CS	δ _{max} [cm]	δ _{amm} [cm]	CS	δ _{max} [cm]	δ _{amm} [cm]
Piano Terra						
Trave Acciaio 5a-1	30,28	0,0103	0,3122	51,95	0,0050	0,2601
Trave Acciaio 6a-2	24,74	0,0125	0,3081	42,62	0,0060	0,2567
Trave Acciaio 7a-3	29,68	0,0105	0,3122	50,75	0,0051	0,2601
Trave Acciaio 33a-37a	-	0,0000	0,0841	-	0,0000	0,0700
Trave Acciaio 34a-38a	-	0,0000	0,0923	-	0,0000	0,0769
Trave Acciaio 35a-39a	-	0,0000	0,0973	-	0,0000	0,0811
Trave Acciaio 26a-4	-	0,0000	0,1419	-	0,0000	0,1182
Trave Acciaio 28a-6	-	0,0000	0,1454	-	0,0000	0,1212
Trave Acciaio 23a-28a	12,66	0,0313	0,3967	17,79	0,0186	0,3306
Trave Acciaio 4-33a	63,79	0,0047	0,3028	NS	0,0017	0,2523
Trave Acciaio 32a-33a	2,91	0,1370	0,3990	4,59	0,0725	0,3325
Trave Acciaio 5-34a	NS	0,0022	0,3040	NS	0,0002	0,2533
Trave Acciaio 35a-36a	2,89	0,1386	0,4002	4,56	0,0732	0,3335
Trave Acciaio 27a-5	-	0,0000	0,1472	-	0,0000	0,1227
Trave Acciaio 21a-22a	2,86	0,6800	1,9482	1,56	1,0376	1,6235
Trave Acciaio 16a-22a	2,59	0,1731	0,4487	3,75	0,0998	0,3739
Trave Acciaio 7a-8a	2,80	0,1458	0,4080	4,45	0,0764	0,3400
Trave Acciaio 2a-5a	-	0,0000	0,1091	-	0,0000	0,0909
Trave Acciaio 1a-6a	-	0,0000	0,1130	-	0,0000	0,0942
Trave Acciaio 3a-7a	-	0,0000	0,1091	-	0,0000	0,0909
Trave Acciaio 6-35a	64,36	0,0046	0,2990	NS	0,0017	0,2492
Trave Acciaio 17a-23a	3,38	0,1357	0,4584	4,94	0,0773	0,3820
Trave Acciaio 21a-26a	12,43	0,0322	0,3998	17,57	0,0190	0,3398
Trave Acciaio 15a-21a	3,26	0,1407	0,4588	4,78	0,0800	0,3823
Trave Acciaio 14a-15a	2,27	0,1758	0,4000	3,66	0,0910	0,3333
Trave Acciaio 28a-29a	1,74	0,2309	0,4019	2,65	0,1262	0,3349
Trave Acciaio 23a-24a	2,20	0,1838	0,4034	3,51	0,0957	0,3361
Trave Acciaio 17a-18a	2,16	0,1870	0,4049	3,47	0,0972	0,3374
Trave Acciaio 12a-13a	1,73	0,2354	0,4063	2,62	0,1290	0,3386
Trave Acciaio 11a-16a	14,79	0,0263	0,3885	21,35	0,0152	0,3238
Trave Acciaio 10a-15a	10,28	0,0378	0,3885	14,83	0,0218	0,3238
Trave Acciaio 12a-17a	12,58	0,0309	0,3882	18,17	0,0178	0,3235
Trave Acciaio 2-11a	6,49	0,0232	0,1505	9,46	0,0133	0,1254
Trave Acciaio 1-10a	-	0,0000	0,1463	-	0,0000	0,1219
Trave Acciaio 3-12a	-	0,0000	0,1463	-	0,0000	0,1219
Trave Acciaio 4a-5a	2,96	0,1352	0,4000	4,73	0,0705	0,3333
Trave Acciaio 5a-6a	4,11	0,4742	1,9487	1,81	0,8985	1,6239

Travi (AC) - Verifiche di deformabilità allo SLE

Id _{Tr}	Carichi Permanenti + Variabili			Carichi Variabili		
	CS	δ _{max} [cm]	δ _{amm} [cm]	CS	δ _{max} [cm]	δ _{amm} [cm]
Trave Acciaio 6a-7a	4,13	0,4718	1,9481	1,80	0,9029	1,6234
Trave Acciaio 33a-34a	5,81	0,3351	1,9481	6,54	0,2482	1,6234
Trave Acciaio 34a-35a	6,08	0,3205	1,9479	6,17	0,2632	1,6232
Trave Acciaio 25a-26a	1,75	0,2280	0,3993	2,67	0,1247	0,3328
Trave Acciaio 27a-28a	4,61	0,4228	1,9505	6,58	0,2472	1,6254
Trave Acciaio 22a-23a	3,01	0,6471	1,9479	1,67	0,9739	1,6233
Trave Acciaio 20a-21a	2,26	0,1767	0,3996	3,63	0,0917	0,3330
Trave Acciaio 10a-11a	2,00	0,9733	1,9481	1,10	1,4705	1,6234
Trave Acciaio 11a-12a	1,94	1,0041	1,9481	1,10	1,4724	1,6234
Trave Acciaio 9a-10a	1,76	0,2270	0,4002	2,68	0,1245	0,3335
Trave Acciaio 26a-27a	4,52	0,4304	1,9456	6,81	0,2380	1,6213
Trave Acciaio 22a-27a	8,69	0,0459	0,3983	12,39	0,0268	0,3319
Trave Acciaio 4a-9a	10,82	0,0424	0,4586	16,88	0,0226	0,3822
Trave Acciaio 9a-14a	6,60	0,0589	0,3889	9,36	0,0346	0,3241
Trave Acciaio 14a-20a	3,09	0,1477	0,4569	4,37	0,0871	0,3807
Trave Acciaio 20a-25a	6,20	0,0641	0,3975	9,06	0,0366	0,3313
Trave Acciaio 25a-32a	9,53	0,0466	0,4447	14,86	0,0249	0,3706
Trave Acciaio 29a-36a	9,73	0,0457	0,4447	14,98	0,0247	0,3706
Trave Acciaio 24a-29a	6,25	0,0645	0,4030	9,10	0,0369	0,3358
Trave Acciaio 18a-24a	3,16	0,1431	0,4527	4,46	0,0846	0,3772
Trave Acciaio 13a-18a	6,41	0,0605	0,3876	9,10	0,0355	0,3230
Trave Acciaio 8a-13a	9,39	0,0488	0,4586	14,55	0,0263	0,3822

LEGENDA:

Id_{Tr} Identificativo della trave. L'eventuale lettera tra parentesi distingue i diversi tratti della travata al livello considerato.
CS Coefficiente di sicurezza ([NS] = Non Significativo se CS ≥ 100; [VNR]= Verifica Non Richiesta; Informazioni aggiuntive sulla condizione: [V] = statica; [E] = eccezionale; [S] = sismica; [N] = sismica non lineare).
δ_{max} Spostamento allo SLE.
δ_{amm} Spostamento Differenziale ammissibile.

PILASTRI (AC) - VERIFICHE A PRESSOFLESSIONE DEVIATA (Elevazione) allo SLU

Pilastri (AC) - Verifiche a pressoflessione deviata

Pilastro	%L _{Lt}	N _{Ed}	V _{Ed}	M _{Ed,3}	M _{Ed,2}	CS	Tp	Vr	max/m in	M _{c,Rd}	V _{c,Rd}	ρ	A _v	t _w	N _{pl,Rd}
	[%]	[N]	[N]	[N-m]	[N-m]					[N-m]	[N]		[mm ²]	[mm]	[N]
Piano Terra															
Pilastro Acciaio 4	0%	19.761	608	-3.179	556	4.32[V]	PLS	Max		18.578	97.688	0,000	756	5,0	475.256
			3.697											9.208	
	50,0%	18.710	661	2.029	-340	6.83[V]	PLS	Max		18.578	97.688	0,000	756	5,0	475.256
Pilastro Acciaio 5	0%	23.365	29	-2.903	29	6.26[V]	PLS	Max		18.578	97.688	0,000	756	5,0	475.256
			3.738											9.208	
	50,0%	23.056	29	2.422	-12	7.58[V]	PLS	Max		18.578	97.688	0,000	756	5,0	475.256
Pilastro Acciaio 6	0%	19.555	-619	-3.400	-570	4.08[V]	PLS	Max		18.578	97.688	0,000	756	5,0	475.256
			3.766											9.208	
	50,0%	19.246	-619	1.965	311	7.16[V]	PLS	Max		18.578	97.688	0,000	756	5,0	475.256
Pilastro Acciaio 3	0%	9.608	-3.750	-2.054	-4.286	1.73[S]	PLS	Max		18.578	97.688	0,000	756	5,0	475.256
			673											9.208	
	50,0%	9.481	-3.750	-1.539	1.751	3.66[S]	PLS	Max		18.578	97.688	0,000	756	5,0	475.256
Pilastro Acciaio 2	0%	13.531	-3.537	881	4.117	2.02[S]	PLS	Max		18.578	97.688	0,000	756	5,0	475.256
			-1.776											9.208	
	50,0%	12.350	-3.531	-647	1.413	5.30[S]	PLS	Max		18.578	97.688	0,000	756	5,0	475.256
Pilastro Acciaio 1	0%	9.451	-2.859	2.173	4.266	1.71[S]	PLS	Max		18.578	97.688	0,000	756	5,0	475.256
			699											9.208	
	50,0%	9.324	-2.859	-1.388	-1.749	3.77[S]	PLS	Max		18.578	97.688	0,000	756	5,0	475.256
100%	26.376	2.508	-5.437	-2.814	1.66[V]	PLS	Max		18.578	97.688	0,000	756	5,0	475.256	
		-4.221											9.208		238.275

LEGENDA:

Pilastro Identificativo del pilastro. L'eventuale lettera tra parentesi distingue i diversi tratti della pilastrata al livello considerato.
%L_{Lt} Posizione della sezione per la quale vengono forniti i valori di verifica, valutata come % della lunghezza libera d'inflessione (L_{Lt}), a partire dall'estremo iniziale.
N_{Ed} Sforzo normale di progetto.
V_{Ed} Taglio di progetto utilizzato per il calcolo di ρ.
M_{Ed,3} Momento flettente di progetto intorno a 3.
M_{Ed,2} Momento flettente di progetto intorno a 2.
CS Coefficiente di sicurezza ([NS] = Non Significativo se CS ≥ 100; [VNR]= Verifica Non Richiesta; Informazioni aggiuntive sulla condizione: [V] = statica; [E] = eccezionale; [S] = sismica; [N] = sismica non lineare).

Pilastri (AC) - Verifiche a pressoflessione deviata

Pilastro	%L _{LI}	N _{Ed}	V _{Ed}	M _{Ed,3}	M _{Ed,2}	CS	Tp Vr	max/m in	M _{c,Rd}	V _{c,Rd}	ρ	A _v	t _w	N _{pl,Rd}
	[%]	[N]	[N]	[N-m]	[N-m]				[N-m]	[N]		[mm ²]	[mm]	[N]
Tp Vr	Tipo di verifica considerata: "PLS" = con Modulo di resistenza plastico; "ELA" = con modulo di resistenza elastico; "EFF" = con modulo di resistenza efficace.													
max/mi	[max] = valore per la verifica con modulo di resistenza maggiore; [min] = valore per la verifica con modulo di resistenza minore.													
n														
M_{c,Rd}	Momento resistente.													
V_{c,Rd}	Taglio resistente.													
ρ	Coefficiente riduttivo per presenza di taglio.													
A_v	Area resistente a taglio.													
t_w	Spessore anima.													
N_{pl,Rd}	Resistenza plastica a Sforzo Normale.													

PILASTRI (AC) - VERIFICHE A TAGLIO (Elevazione) per pressoflessione deviata allo SLU

Pilastro	%L _{LI}	CS	A _v	τ _{T,Ed}	V _{Ed}	V _{c,Rd}	Pilastri (AC) - Verifiche a taglio		
							P. Vrf.	Ω _{Min}	
	[%]		[mm ²]	[N/mm ²]	[N]	[N]			
Piano Terra									
Pilastro Acciaio 4	0%	26,40	756	0,27	3.697	97.605	Piano XX	-	
	50,0%	26,40	756	0,27	3.697	97.605	Piano XX	-	
	100%	26,40	756	0,27	3.697	97.605	Piano XX	-	
Pilastro Acciaio 5	0%	26,13	756	0,00	3.738	97.688	Piano XX	-	
	50,0%	26,13	756	0,00	3.738	97.688	Piano XX	-	
	100%	26,13	756	0,00	3.738	97.688	Piano XX	-	
Pilastro Acciaio 6	0%	25,92	756	0,27	3.766	97.605	Piano XX	-	
	50,0%	25,92	756	0,27	3.766	97.605	Piano XX	-	
	100%	25,92	756	0,27	3.766	97.605	Piano XX	-	
Pilastro Acciaio 3	0%	16,43	756	0,27	-5.941	97.605	Piano XX	-	
	50,0%	16,43	756	0,27	-5.941	97.605	Piano XX	-	
	100%	16,43	756	0,27	-5.941	97.605	Piano XX	-	
Pilastro Acciaio 2	0%	14,36	756	0,00	-6.803	97.688	Piano XX	-	
	50,0%	14,36	756	0,00	-6.803	97.688	Piano XX	-	
	100%	14,36	756	0,00	-6.803	97.688	Piano XX	-	
Pilastro Acciaio 1	0%	16,51	756	0,27	-5.911	97.605	Piano XX	-	
	50,0%	16,51	756	0,27	-5.911	97.605	Piano XX	-	
	100%	16,51	756	0,27	-5.911	97.605	Piano XX	-	

LEGENDA:

- Pilastro** Identificativo del pilastro. L'eventuale lettera tra parentesi distingue i diversi tratti della pilastriata al livello considerato.
- %L_{LI}** Posizione della sezione per la quale vengono forniti i valori di verifica, valutata come % della lunghezza libera d'inflessione (L_{LI}), a partire dall'estremo iniziale.
- CS** Coefficiente di sicurezza ([NS] = Non Significativo se CS ≥ 100; [VNR]= Verifica Non Richiesta; Informazioni aggiuntive sulla condizione: [V] = statica; [E] = eccezionale; [S] = sismica; [N] = sismica non lineare).
- A_v** Area resistente a taglio.
- τ_{T,Ed}** Tensione tangenziale di calcolo per torsione.
- V_{Ed}** Taglio di progetto.
- V_{c,Rd}** Taglio resistente.
- P. Vrf.** Piano di minima resistenza.
- Ω_{Min}** Rapporto minimo momento plastico/momento progetto travi concorrenti.

PILASTRI (AC) - VERIFICHE INSTABILITÀ A PRESSOFLESSIONE DEVIATA (Elevazione)

Pilastro	N _{eq,Ed}	M _{eq,Ed,3}	M _{eq,Ed,2}	CS	P. Vrf.	L _{cr}	Dir	L _N	Pilastri (AC) - Verifiche instabilità a pressoflessione deviata									
									λ _{LT}	α	φ	χ	β	k _c	χ _{LT}	N _{cr}		
	[N]	[N-m]	[N-m]			[m]		[m]									[N]	
Piano Terra																		
Pilastro Acciaio 4	19.452	3.143	-483	3,09	Piano YY	2,85	x-x	2,85	0,460	0,340	0,873	0,756	1,000	0,679	1,000	341.417		
								y-y	2,85	0,252	0,490	1,478	0,430	1,000	0,673		1,000	
Pilastro Acciaio 5	23.056	3.488	-21	3,25	Piano YY	2,85	x-x	2,85	0,467	0,340	0,873	0,756	1,000	0,688	1,000	341.417		
								y-y	2,85	0,246	0,490	1,478	0,430	1,000	0,662		1,000	
Pilastro Acciaio 6	19.246	3.039	489	3,15	Piano YY	2,85	x-x	2,85	0,455	0,340	0,873	0,756	1,000	0,674	1,000	341.417		
								y-y	2,85	0,251	0,490	1,478	0,430	1,000	0,672		1,000	
Pilastro Acciaio 3	26.853	-3.502	1.322	2,43	Piano YY	1,52	x-x	1,52	0,347	0,340	0,613	0,926	1,000	0,739	1,000	1.200.295		
								y-y	1,52	0,177	0,490	0,817	0,759	1,000	0,693		1,000	
Pilastro Acciaio 2	13.404	-938	1.955	3,30	Piano YY	1,52	x-x	1,52	0,314	0,340	0,613	0,926	1,000	0,683	1,000	1.200.295		
								y-y	1,52	0,179	0,490	0,817	0,759	1,000	0,698		1,000	
Pilastro Acciaio 1	26.541	-2.870	-1.289	2,68	Piano YY	1,52	x-x	1,52	0,336	0,340	0,613	0,926	1,000	0,720	1,000	1.200.295		
								y-y	1,52	0,177	0,490	0,817	0,759	1,000	0,691		1,000	

LEGENDA:

- Pilastro** Identificativo del pilastro. L'eventuale lettera tra parentesi distingue i diversi tratti della pilastriata al livello considerato.
- N_{eq,Ed}** Sforzo Normale equivalente di progetto.
- M_{eq,Ed,3}** Momento equivalente di progetto intorno a 3.
- M_{eq,Ed,2}** Momento equivalente di progetto intorno a 2.
- CS** Coefficiente di sicurezza ([NS] = Non Significativo se CS ≥ 100; [VNR]= Verifica Non Richiesta; Informazioni aggiuntive sulla condizione: [V] = statica; [E] = eccezionale; [S] = sismica; [N] = sismica non lineare).
- P. Vrf.** Piano di minima resistenza.
- L_{cr}** Lunghezza di libera inflessione laterale, misurata tra due ritegni torsionali successivi.
- L_N** Luce libera di inflessione.
- λ_{LT}** Coefficiente di snellezza normalizzata (per il calcolo di φ_{LT}).
- α** Fattore di imperfezione.
- φ** Coefficiente φ (per il calcolo di χ).
- χ** Coefficiente di riduzione per instabilità a compressione
- β** Coefficiente di riduzione della luce libera di inflessione.
- k_c** Coefficiente per il calcolo di χ_{LT}
- χ_{LT}** Coefficiente di riduzione ai fini dell'instabilità flessotorsionale.
- N_{cr}** Sforzo Normale Critico Euleriano.

PILASTRI - VERIFICA DI SNELLEZZA (Elevazione)

Pilastri - VERIFICA DI SNELLEZZA						
Id	P/S	L ₀ [mm]	i [mm]	λ ₀	λ _{0,lim}	CS
Piano Terra						
Pilastro Acciaio 4	-	2850	25,10	114	200	1,75
Pilastro Acciaio 5	-	2850	25,10	114	200	1,75
Pilastro Acciaio 6	-	2850	25,10	114	200	1,75
Pilastro Acciaio 3	-	1520	25,10	61	200	3,28
Pilastro Acciaio 2	-	1520	25,10	61	200	3,28
Pilastro Acciaio 1	-	1520	25,10	61	200	3,28

LEGENDA:

Id	Identificativo dell'elemento.
P/S	Tipologia trave acciaio: Principale (P) o Secondaria (S)
L₀	Lunghezza di inflessione
i	Raggio d'inerzia
λ₀	Snellezza
λ_{0,lim}	Snellezza limite
CS	Coefficiente di sicurezza ([NS] = Non Significativo per valori di CS >= 100; [VNR]= Verifica Non Richiesta).